

Straßenbauverwaltung Baden-Württemberg  
Bundesstraße 32  
v. NK 8224 007 n. NK 8325 006 Stat. 2+240 bis NK 8325 006 n. NK 8325 025 Stat. 0+216

Regierungspräsidium Tübingen

## **B 32, Beseitigung des Bahnübergangs in Wangen**

PSP-Element: V.2430.B0032 .A14

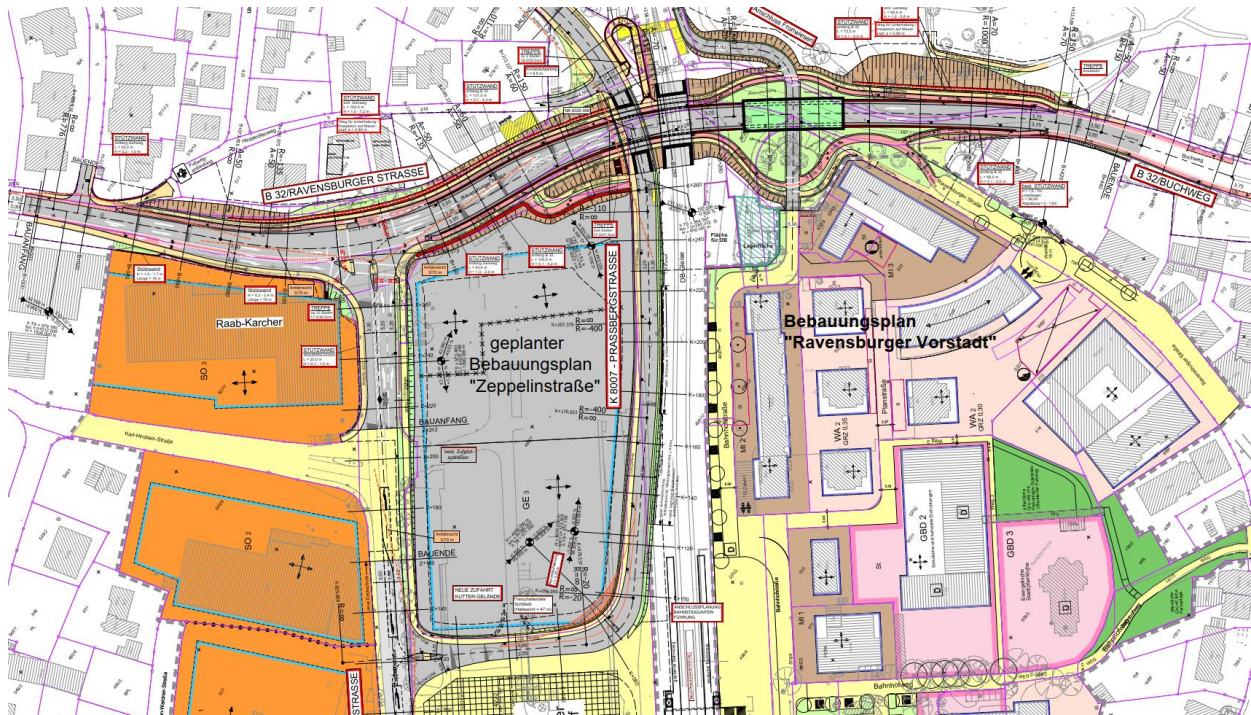
# **FESTSTELLUNGSENTWURF**

## **UNTERLAGE 15.5**

### **- Ankerlagen Stützwände -**



# Regierungspräsidium Tübingen



## B 32, Beseitigung des Bahnübergangs in Wangen - Ankerlagen Stützwände -

### Auftraggeber:

Regierungspräsidium Tübingen  
REFERAT 44 -Straßenplanung  
Konrad-Adenauer-Straße 20  
72072 Tübingen

### Verfasser:

DR. SCHÜTZ INGENIEURE  
Beratende Ingenieure im Bauwesen  
PartG mbB  
An der Stadtmauer 13  
87435 Kempten

## Inhaltsverzeichnis

<b>1. Allgemeines</b>	<b>2</b>
<b>2. Grundlagen</b>	<b>2</b>
<b>3. Konstruktion und Randbedingungen der Bohrpfahlwände:</b>	<b>2</b>
<b>4. Konstruktion und Randbedingungen der Gabionenwände</b>	<b>3</b>
<b>5. Berechnung Bohrpfahlwände</b>	<b>3</b>
<b>6. Zusammenfassung</b>	<b>5</b>

## Anlagen

- A1 – Lageplan**
- A2 – Querschnitte ausschnittsweise, P+P**
- A3 – Angaben Grundwasserspiegel**
- A4 – Statische Berechnung QS+140 Bauzustand ohne Anker**
- A5 – Statische Berechnung QS+140 Endzustand ohne Anker**
- A6 - Statische Berechnung QS+380 Bauzustand ohne Anker**
- A7 - Statische Berechnung QS+380 Bauzustand mit Anker**
- A8 - Statische Berechnung QS+380 Endzustand ohne Anker**
- A9 – Ausschnitt Lageplan – Flächeninanspruchnahme Anker & Geotextilien**

## 1. Allgemeines

In Vorbereitung der Planfeststellung wurden die Unterzeichner mit Untersuchungen zu den Bohrpfahlwänden und den Gabionenwänden beauftragt. Es sollte beurteilt werden, inwieweit eine Flächeninanspruchnahme durch Rückverankerungen (Anker und Geotextilien) erforderlich wird.

## 2. Grundlagen

Grundlage ist der Lageplan P+P vom 29.01.2021 (A1), Querschnitte von P+P (auszugsweise in A2 beigelegt), Angaben zum Grundwasserspiegel vom 6.11.2020 (A3).

## 3. Konstruktion und Randbedingungen der Bohrpfahlwände:

Im Bereich B+90 bis B+240 sowie im Bereich B+335 bis B+410 wird eine überschnittene Bohrpfahlwand angeordnet, dabei folgt auf einen bewehrten ein unbewehrter Bohrpfahl. Die Berechnungen wurden auf Basis folgender Werte durchgeführt:

Die Querschnitte der Bohrfähle betragen 0,90 m. Die Überschneidung beträgt 0,1 m. Die unbewehrten Pfähle werden nicht für eine Tragwirkung angesetzt, da sie mit einer geringeren Einbindetiefe ausgeführt werden. Somit ergibt sich für das rechnerische Modell eine aufgelöste Bohrpfahlwand mit einer Lasteinwirkungsbreite von 1,6 m pro Bohrpfahl.

Im Bereich B+90 bis B+240 befindet sich auf der Böschungsseite bei B+140 setzungsempfindliche Wohnbebauung sowie im Bereich B+180 bis B+200 landwirtschaftliche Nutzgebäude. Der Grundwasserspiegel liegt bei B+140 ca. 3 m unterhalb der geplanten Straßenoberkante. In Richtung fortschreitender Kilometrierung sinken die Straßengradienten sowie der Grundwasserspiegel stetig, aber nicht parallel, ab. Bei B+230 ist der Abstand zwischen Straßenoberkante und Grundwasserspiegel (ca. 564 m) mit 1,5 m minimal, im Folgenden nimmt der Abstand wieder zu.

Zwischen B+230 und B+360 wird eine Filterschicht eingebaut, die 0,75 m unterhalb der Straßengradienten beginnt und eine Dicke von 0,5 m aufweist.

Im Bereich B+140 bis B+240 soll ein Kanal DN 700 mittels Durchpressung hergestellt werden. Dieser kreuzt bei B+140 die Bohrpfahlwand und verläuft anschließend bis B+240 hinter der Bohrpfahlwand.

Im Bereich ca. B+335 bis B+400 befindet sich eine steil ansteigende Böschung.

Im Bereich B+335 bis B+380 verläuft ein RW-Kanal DN 500 hinter der Bohrpfahlwand. Bei B+380 kreuzt dieser die Bohrpfahlwand, wird unter der Straße hindurchgeführt und bei B+400 an den bestehenden Kanal angeschlossen.

## 4. Konstruktion und Randbedingungen der Gabionenwände

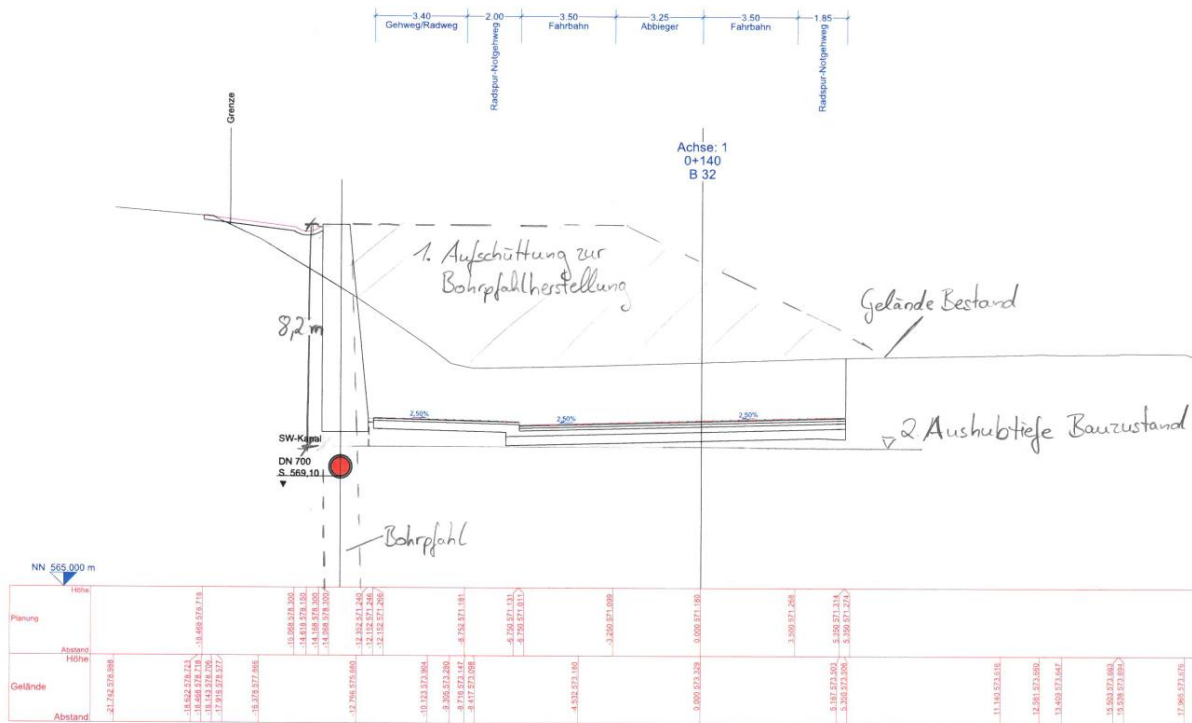
Im Bereich B+150 bis B+240 werden auf der südlichen Seite, am Rande des Geh- und Radweges, Gabionenwände angeordnet. Hier ist der Querschnitt B+190 maßgebend (A2). Die Gabionenwand besteht in diesem Schnitt aus zwei aufeinander stehenden Gabionen mit der Höhe und Breite 1 m und einer Neigung von ca. 5°. Gegründet wird sie auf einem Ortbeton-Streifenfundament. Um die Grundbaunachweise führen zu können, ist im Bereich zwischen B+160 und B+210 eine Bewehrung mittels Geotextil zwischen unterer und oberer Gabione notwendig. Das Geotextil muss mit einer Länge von 5m ab Hinterkante Gabione ins Erdreich einbinden.

Im Bereich B+75 bis B+90 könnte die Böschung ebenfalls mit Gabionen gesichert werden. Im Querschnitt B+90 wären dabei drei Gabionen aufeinander nötig, sowie 2 Lagen Geotextil-Bewehrung mit 5m Einbindelänge.

## 5. Berechnung Bohrpfahlwände

Die maßgebenden Schnitte der Bohrpfahlwand wurden mit dem Programm GGU RETAIN als zweidimensionales Tragwerk abgebildet.

Für den Bereich B+90 bis B+240 ist der Querschnitt B+140 maßgebend, da hier die größte Differenz zwischen Bohrpfahloberkante und Baugrubensohle vorliegt. Die freien Wandlängen (mit Kopfbalken) betragen bei B+140 im Bauzustand 8,2 m und im Endzustand 7,4 m, siehe folgende Skizze:



Für diesen Querschnitt wurde eine Berechnung im Bau- und Endzustand durchgeführt. Als Ergebnis wurde eine maximale Kopfverformung der Bohrpfähle von 80 mm im Bauzustand und 70 mm im Endzustand berechnet. Da diese Verformung aufgrund einer möglichen Setzung der Bestandsgebäude nach unserer Einschätzung zu groß erscheint, schlagen wir im Einflussbereich der Wohnbebauung Daueranker vor. Der Abstand der Bestandsgebäude beträgt ca. 9 m. Der geplante Kanal liegt dort deutlich unter der Ankerlage, so dass keine Beeinflussung zu erwarten ist.

Die Ergebnisse der statischen Berechnung finden sich in A4 und A5.

Im Bereich Bau-km +160 bis +240 nimmt die freie Wandlänge bis auf ca. 5,8 m ab. Somit sinkt auch die Kopfverformung der Bohrpfähle im Vergleich zu B+140. In Bereich B+160 bis B+240 stehen nur landwirtschaftliche Nutzgebäude (Scheune, Stall). Darüber hinaus liegt die Höhe des geplanten Kanals im Bereich der Ankerlage. In diesem Bereich könnte nach Absprache mit einem Baugrundgutachter auf Anker verzichtet werden.

Für den Bereich B+335 bis B+410 ist der Querschnitt B+380 maßgebend. Im Bauzustand ergibt sich eine Kopfverformung von ca. 100 mm, sodass in diesem Bereich Anker nötig sind. Im Endzustand wird straßenseitig 2,20 m höher aufgeschüttet, weshalb die Verformung auf 18 mm sinkt und die Anker im Endzustand gelöst werden können. Falls der Weg oberhalb der Böschung set-

zungsempfindlich sein sollte, muss dies eventuell berücksichtigt werden. Die Ergebnisse der statischen Berechnung finden sich in A6 – A8.

## 6. Zusammenfassung

Zur Verdeutlichung der Flächeninanspruchnahme wurden die vorhergesehnen Ankerlagen und die Geotextilien im Lageplan (A9) eingezeichnet.

### Bohrpfahlwände:

Die zu erwarteten Kopfverformungen von ca. 80 mm im Bereich der Wohnbebauungen Bau-km +90 bis +160 erscheinen zu hoch. Maßgebend sind hier die zu erwartenden Setzungen der Bestandsgebäude. Im Rahmen der Planfeststellung sollten in diesem Bereich Daueranker vorgesehen werden. Die Länge der Daueranker beträgt mit Verpresskörper ca. 15 m ab Achse Bohrpfahlwand.

Sofern die Setzungen von einem Baugrundgutachter als unbedenklich eingestuft werden, könnte auf die Verankerung verzichtet werden.

Im Bereich Achse +160 bis +240 nimmt die Kopfverformung der Bohrpfähle ab. In diesem Bereich stehen nur landwirtschaftliche Nutzgebäude (Scheune, Stall) und der Kanal ist im Bereich der Ankerlage geplant. Deshalb könnte nach Absprache mit einem Baugrundgutachter auf Anker verzichtet werden.

Im Bereich zwischen Achse +335 bis +400 sind temporäre Anker für den Bauzustand erforderlich. Die Länge der Anker beträgt ca. 15 m ab Achse Bohrpfahlwand. Auch diese Anker dienen lediglich zur Begrenzung der erwarteten Kopfverformungen von ca. 100 mm (Bauzustand).

Die Tragfähigkeit der Bohrpfahlwände ist ohne Verankerung gewährleistet.

Sofern gänzlich auf Anker verzichtet werden muss, könnten auch durch eine deutlich größere Überschneidung der Bohrpfahlwand die Verformungen reduziert werden. Es könnten voraussichtlich 65 mm erreicht werden. Dabei erhöht sich aber der Aufwand für die Herstellung der Bohrpfahlwände deutlich.

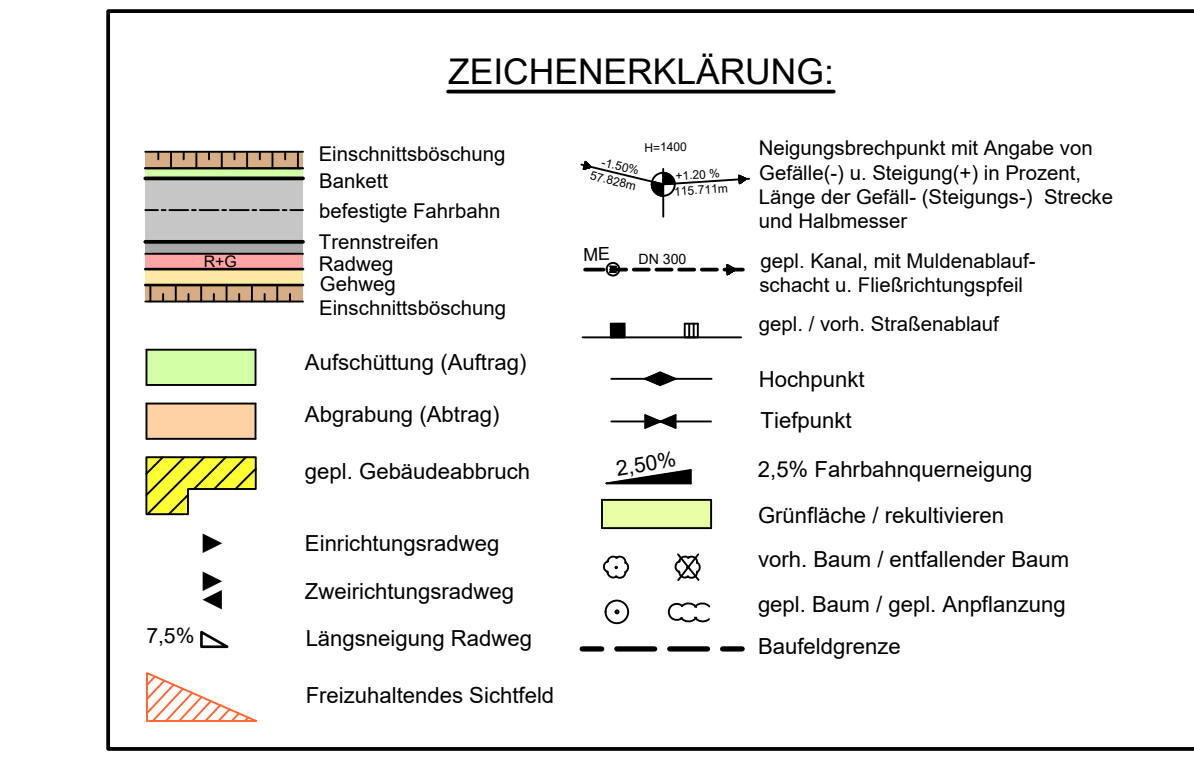
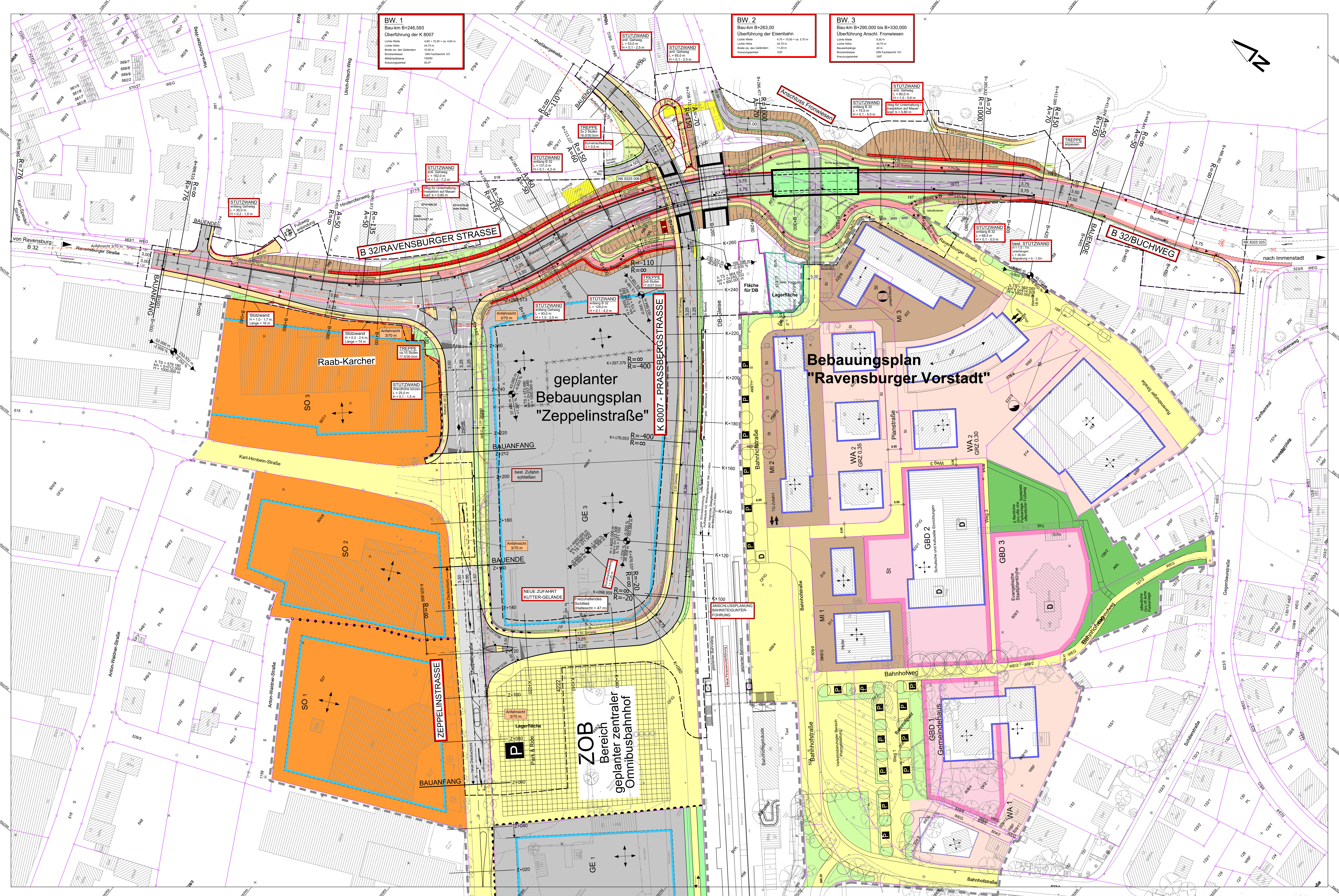
### Gabionenwände:

Gabionenwände befinden sich im Bereich B+150 bis B+240.

Die Gabionenwand besteht hier aus maximal zwei aufeinanderliegenden Gabionen. Hier ist ein 5m in die Böschung reichendes Geotextil als Bewehrung notwendig.

Im Bereich B+75 bis B+90 könnte die Böschung ebenfalls mit Gabionen gesichert werden. Die Gabionenwand wäre dabei maximal drei Gabionen hoch, wobei 2 Lagen Geotextil-Bewehrung mit 5m Einbindelänge notwendig sind.

aufgestellt am 17.06.2021



# Bebauungsplan "Ravensburg"

# Anlage

 <p><b>pirker + pfeiffer ingenieure</b></p>	<b>Büro Münsingen</b>		Datum	Name
	Telefon +49 7381 9398-0	gezeichnet	29.01.2021	BERTSCHE
	Münsingen + Reutlingen	geprüft	29.01.2021	SCHEUE
	Rottweil + Friedrichshafen	freigegeben		

Bauaufsichtsamt  
Baden-Württemberg

Aufgaben | Datei | Hilfe

Art der Änderung	Datum	Name

--	--	--

Netzknoten				nach Netzknoten				Station			
4	0	0	7		8	3	2	5	0	0	6
5	0	0	6		8	2	2	5	0	2	5

5 0 0 6 | 0 3 2 5 0 2 5 | | | 0 2 |  
UTM  Stand Kataster: 07 / 2016

NHN  Bestandsvermessung: 2006 / 2015

ELLUNGSENTWURF | Baden-Württemberg | Unterricht | 5

Baden - Württemberg Unterlage 5  
Blatt-Nr. 1

LAGEPLAN  
B 32

B 32

# Beseitigung des Schmiedeüberganges in Wangen

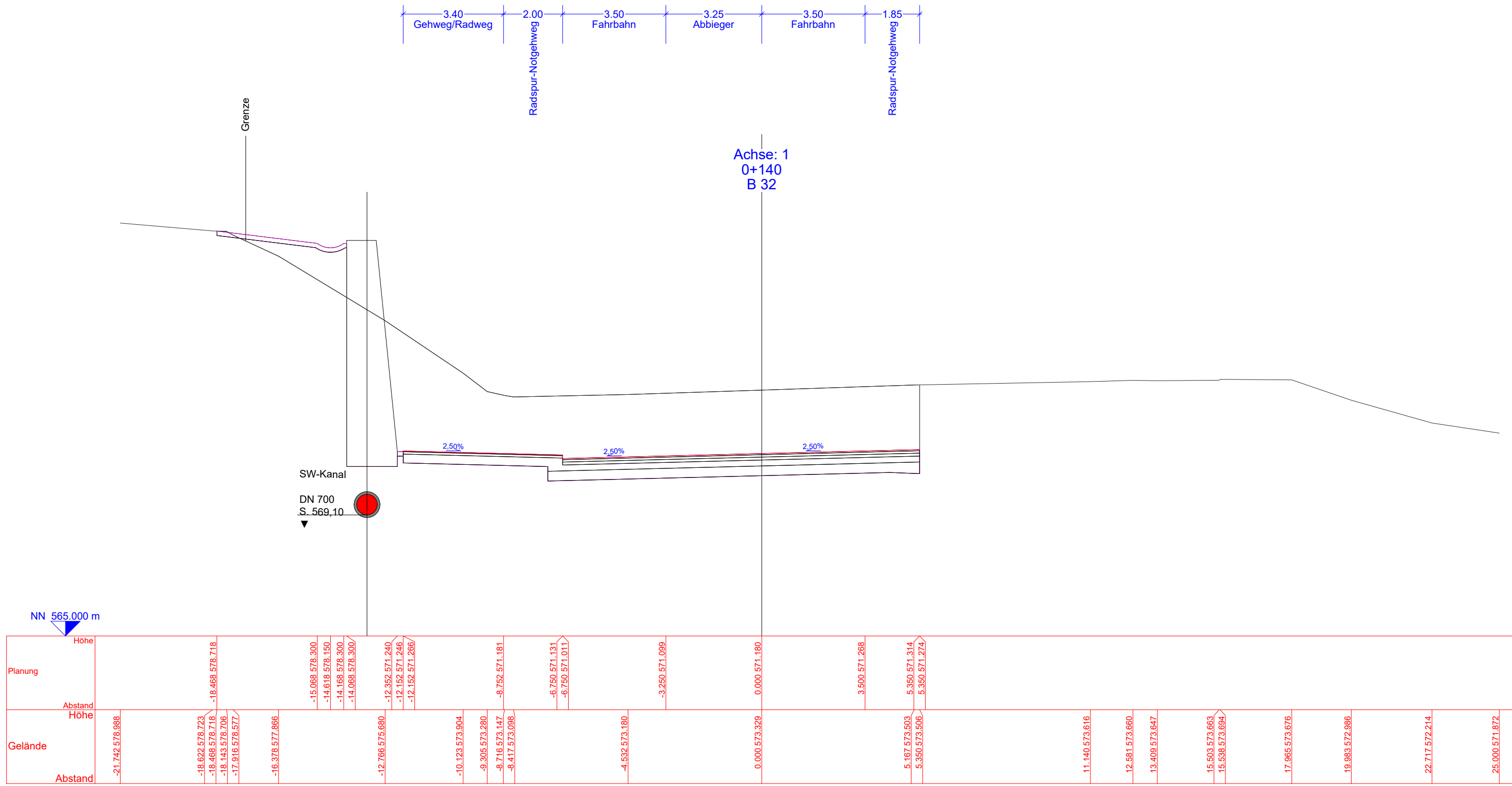
## Bau-km B+000 bis B+440

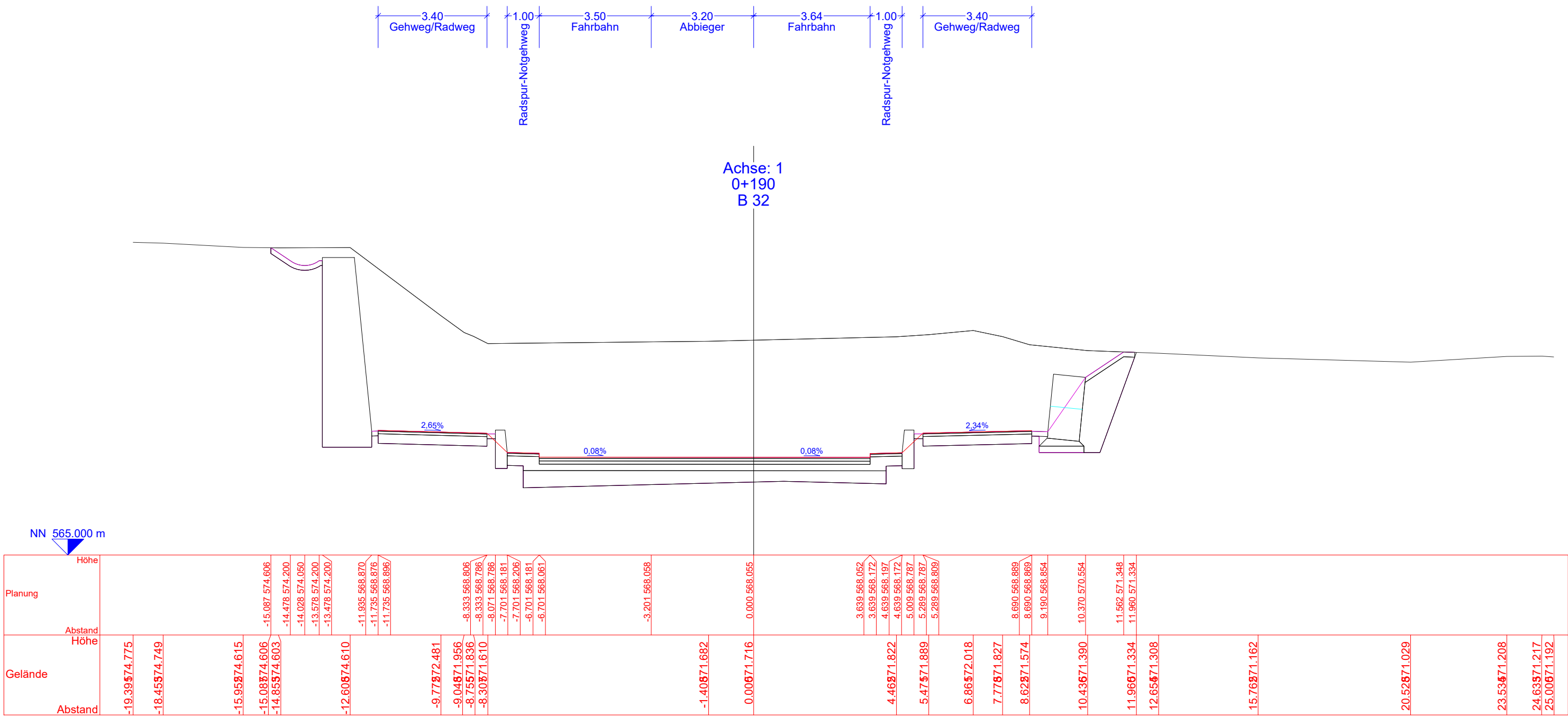
Table 1. Summary of the main characteristics of the four groups of patients.

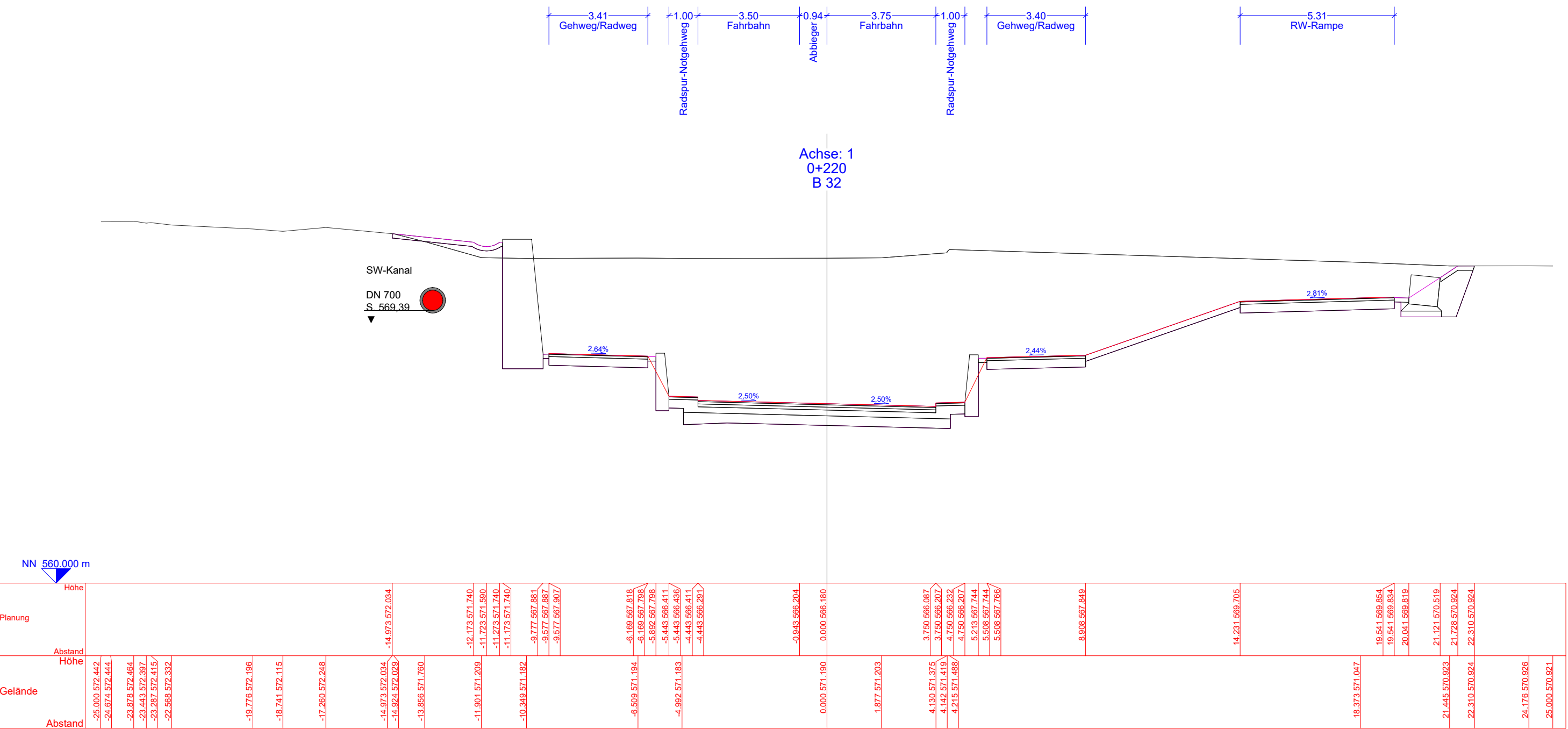
\_\_\_\_\_

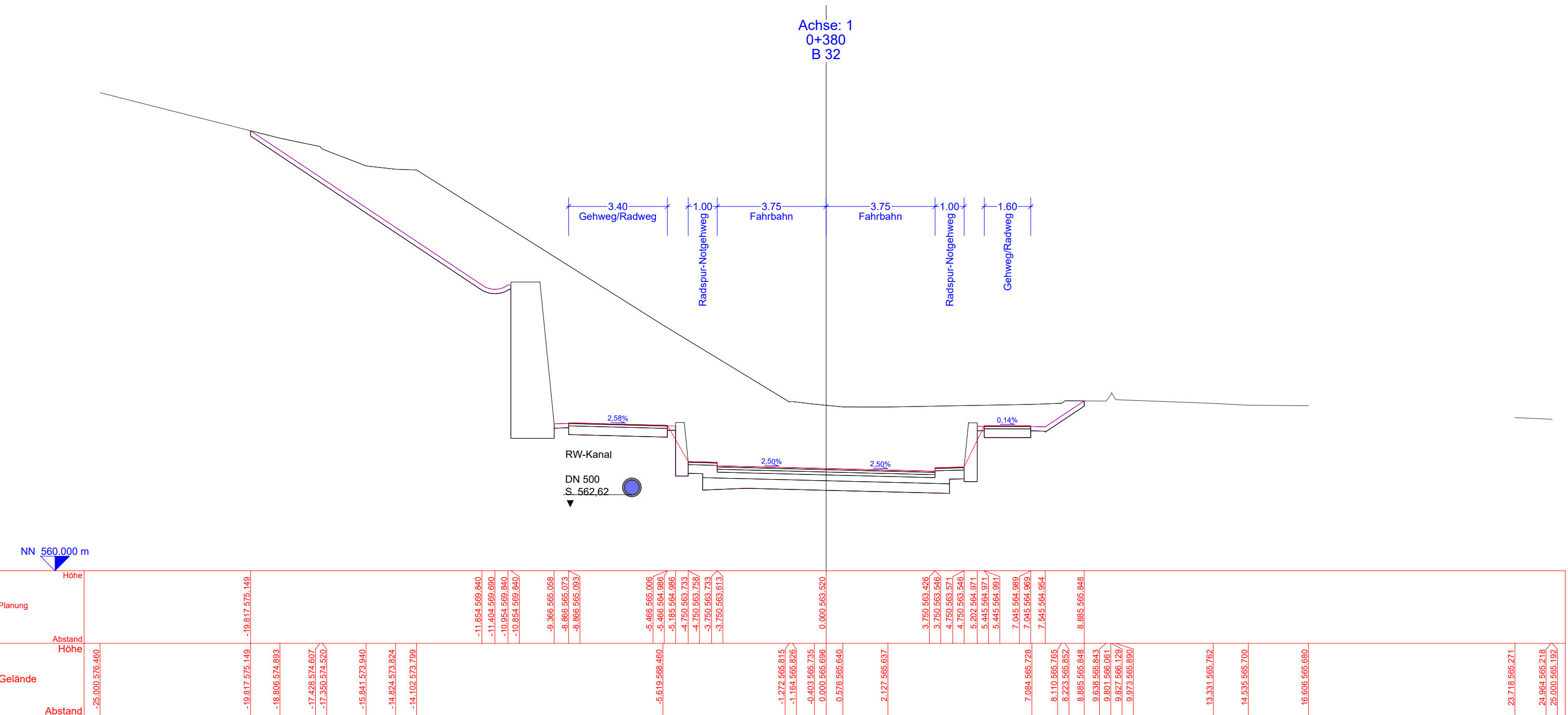
PLANGR. 1,45x0,841m=1,220  
Ur Geoinformation und Landentwicklung Baden-Württemberg, www.lgl-bw.de, Az.: 2851.9- 1/19  
© Landesanstalt für Umwelt, Messungen und Naturschutz Baden-Württemberg

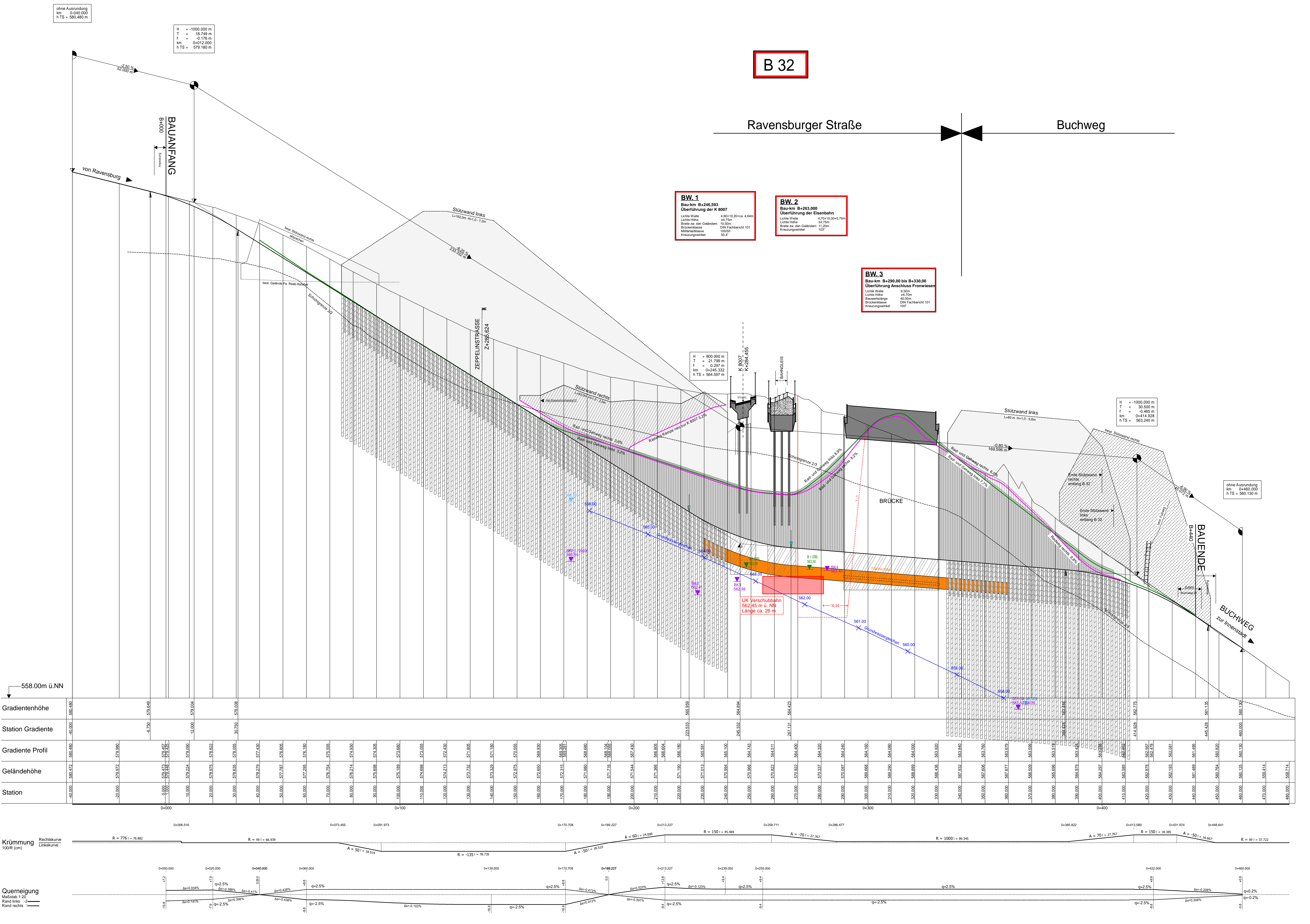
g16-LageplanU\_05-1\_LP-B32-M500\_2020-11-23.dwg











**ZEICHENERKLÄRUNG:**

- best. Stützwand rechts entlang Gehweg
-  best. Stützwand rechts
-  gepl. Stützwand rechts
-  gepl. Stützwand rechts entlang FBR B 32
-  gepl. Stützwand links
-  gepl. Stützwand links entlang FBR B 32
- Rad- und Gehweg rechts
- Rad- und Gehweg links
-  Ruhewasserspiegel  
(Baugrundgutachten Straßenbauverwaltung 2003)
-  Ruhewasserspiegel 2003  
(Baugrundgutachten DB AG)
-  Mittelstand  
(Wasserstandsmessungen Straßenbauverwaltung 2004-2020)
-  Grundwassergleichen (Berghof Umweltengineering)
-  Verschubbahn
-  Flächenfilter
-  Baugrube
-  Schichtgrenze 2/3
-  Bohrpahl
-  Bauwerksgründungen

## Anlage 3

 <p><b>pirker + pfeiffer ingenieure</b></p>	<b>Büro Münsingen</b>		Datum	Name
	Telefon +49 7381 9398-0	gezeichnet	06.11.2020	BERTSCH
	Münsingen + Reutlingen	geprüft	06.11.2020	SCHEUER
	Rottweil + Friedrichshafen	freigegeben		
Neu-Ulm + Markt Altdorf				
<a href="http://www.pirker-pfeiffer.de">www.pirker-pfeiffer.de</a>				

	Straßenbauverwaltung Baden - Würtemberg	Datum	Name
	bearbeitet		

	Art der Änderung	Datum	Name
	Ergänzungen	13.01.2021	Wöhrm./Geisl.

	von Netzknopen	nach Netzknopen	Station
--	----------------	-----------------	---------

Sstation	von Netzknopen						nach Netzknopen						Station									
	8	2	2	4	0	0	7		8	3	2	5	0	0	6				2	2	4	0
tion	8	3	2	5	0	0	6		8	3	2	5	0	2	5				0	2	1	6

system: GK  UTM  Stand Kataster: 07 / 2016

nsystem: NN  NHN  Bestandsvermessung: 2006 / 2015

# ESTSTELLUNGSENTWURF

Bauaufsichtsamt Baden-Württemberg  
B 32

B 32	Blatt-Nr.
Der Ort: Wangen	HÖHENPLAN

**HÖHENPLAN**  
**B 32**  
Maßstab: 1:500/50

Element: V.2430.B0032 .A14 Maßstab: 1:500/50

itigung des  
überganges in Wangen

# Übergänge in Wangen

## Bau-km B+000 bis B+440

Table 1. Summary of the main characteristics of the four groups of patients.

PLANGR\_1.34x0.841m=1.13m

PLANGR. 1,54x0,64 mm = 1,53 mm

10.000 (10.000) Schenkingungsplanung 11. Hochplan S\_00\_11\_TW\_E\_BSE\_2020\_11\_00.xlsx  
0 12:12:50 mike.wachter

Aufgelöste Bohrpfahlwand  
=====

Teilsicherheitskonzept (EC 7)

2018156\_Wangen

Indices:

d = Bemessungswert  
k = charakteristisch  
g = Ständig, einschließlich Wasserdruck  
q = Veränderlich  
g+q = Ständig + Veränderlich, einschließlich Wasserdruck  
w = Wasserdruck

Alle Höhenangaben beziehen sich auf den Wandkopf.

Maximale Teilung bis Baugrubensohle: 0.050 m

Maximale Teilung unter Baugrubensohle: 0.050 m

Baugrubensohle = 7.65 m

Räumliche Wirkung passiver Erddruck

nach: Weißenbach

Bohlträgerbreite = 0.900 m

Bohlträgerabstand = 1.60 m

Grundwasserstand (Erdseite) = 10.00 m

Grundwasserstand (Luftseite) = 10.00 m

Wasserdruck auf "0.0" gesetzt, wenn zur Erdseite gerichtet.

Teilsicherheiten

BS: DIN 1054: BS-T

$\gamma_G = 1.20$

$\gamma_Q = 1.30$

$\gamma_{Ep} = 1.30$

Anpassungsfaktor Erdwiderstand = 0.80

Bermen auf der Aktivseite

Nr.	x1	x2	dh	a	x	y	Auflast	Verkehr
[ - ]	[m]	[m]	[m]	[m]	[m]	[m]	[kN/m <sup>2</sup> ]	[ - ]
1	2.30	4.40	0.80	0.88	2.31	2.11	0.00	nein
2	4.40	6.50	0.36	0.75	5.84	2.79	0.00	nein

Der Einfluss von Aktivbermen auf den aktiven Erddruck wird gemäß den Beziehungen in "Spundwand-Handbuch Berechnung (1977) Abschnitt 4.9.2.2" berechnet.

Blocklasten

Aktiver Erddruck für Blocklasten verwendet

Nr.	sig(v)	sig(h)	x(Luftseite)	x(Erdseite)	Tiefe
[ - ]	[kN/m <sup>2</sup> ]	[kN/m <sup>2</sup> ]	[m]	[m]	[m]
1	200.00	0.00	9.00	11.00	-0.50

Nr.	y(oben)	y(mitte)	y(unten)	p(oben)	p(mitte)	p(unten)	Typ
[ - ]	[m]	[m]	[m]	[kN/m <sup>2</sup> ]	[kN/m <sup>2</sup> ]	[kN/m <sup>2</sup> ]	
1	5.23	13.23	16.03	14.13	14.13	14.13	0

Typ = 0 ==> rechteckförmig verteilt

Blocklasten nicht umgelagert

Art des Fußlagers:

Profillänge automatisch

Nachweis Fußauflager erbracht mit folgenden Kräften:

Eph,d = 822.07 kN/m (Epv,d = -283.15 kN/m)

Ausnutzungsgrad (Erdwiderstand) = Bh,d / Eph,d = 1.000

Bh(g+q),d = 822.07 kN/m

Bh,g,d = 822.07 kN/m

Bh,q,d = 0.00 kN/m

Bh,w,d = 0.00 kN/m

Ersatzkräfte  $C_h$  (Blum)

$$C_{h,k} = 490.67 \text{ kN/m}$$

$$C_{h,g,k} = 490.67 \text{ kN/m}$$

$$C_{h,q,k} = 0.00 \text{ kN/m}$$

$$C_{h,w,k} = 0.00 \text{ kN/m}$$

Bodenkennwerte

Schicht	UK	$\gamma_k$ [kN/m³]	$\gamma'_k$ [kN/m³]	$\varphi_k$ [°]	$c(akt,k)$ [kN/m²]	$c(pas,k)$ [kN/m²]	$d(a)/\varphi$ [-]	$d(p)/\varphi$ [-]	$q_c$ [MN/m²]	$c_u,k$ [kN/m²]
[ - ]	[m]									
1	2.50	20.00	11.50	32.50	0.00	0.00	0.667	-	10.00	0.00
2	10.00	20.00	11.50	32.50	0.00	0.00	0.667	-0.667	10.00	0.00
3	16.00	20.00	10.50	27.50	0.00	0.00	0.667	-0.667	10.00	0.00
4	20.29	21.00	11.00	30.00	0.00	0.00	0.667	-0.667	10.00	0.00

Aktive Erddruckbeiwerte

Ersatzerddruck-Beiwert mit  $\varphi = 40^\circ$

Ersatzerddruck-Beiwert kah wird angewendet, wenn Kohäsion <> 0.0.

Ersatzerddruck-Beiwert kah wird nur auf ständige Lasten angewendet.

bestimmt nach: DIN 4085

(Erddruckbeiwerte für horizontales Gelände)

Schicht	UK	$k_{agh}$ [-]	$k_{ach}$ [-]	$\varphi_k$ [°]	$\delta$ [°]	$\theta$ [°]	$kagh(40^\circ)$ [-]
[ - ]	[m]						
1	2.50	0.251	0.866	32.500	21.68	57.46	0.179
2	10.00	0.251	0.866	32.500	21.68	57.46	0.179
3	16.00	0.311	0.980	27.500	18.34	54.50	0.179
4	20.29	0.279	0.921	30.000	20.01	55.98	0.179

Aktive Erddruckordinaten ([g+q],k)

von	bis	oben	unten	Wasserdruck oben[kN/m²]	Wasserdruck unten[kN/m²]
[m]	[m]	[kN/m²]	[kN/m²]		
0.000	1.000	0.000	5.012	0.00	0.00
1.000	2.000	5.012	10.025	0.00	0.00
2.000	2.500	10.025	12.531	0.00	0.00
2.500	3.036	12.531	15.218	0.00	0.00
3.036	3.182	15.218	15.951	0.00	0.00
3.182	4.033	15.951	21.834	0.00	0.00
4.033	5.033	21.834	28.755	0.00	0.00
5.033	5.234	28.755	44.272	0.00	0.00
5.234	5.288	44.272	44.646	0.00	0.00
5.288	5.791	44.646	47.169	0.00	0.00
5.791	6.042	47.169	48.591	0.00	0.00
6.042	7.047	48.591	54.278	0.00	0.00
7.047	7.650	54.278	57.691	0.00	0.00
7.650	8.040	0.000	0.000	0.00	0.00
8.040	8.235	0.000	0.000	0.00	0.00
8.235	8.577	0.000	0.000	0.00	0.00
8.577	9.034	0.000	0.000	0.00	0.00
9.034	10.000	0.000	0.000	0.00	0.00
10.000	10.645	0.000	0.000	0.00	0.00
10.645	11.042	0.000	0.000	0.00	0.00
11.042	12.035	0.000	0.000	0.00	0.00
12.035	13.028	0.000	0.000	0.00	0.00
13.028	13.226	0.000	0.000	0.00	0.00
13.226	14.033	0.000	0.000	0.00	0.00
14.033	14.336	0.000	0.000	0.00	0.00
14.336	16.000	0.000	0.000	0.00	0.00
16.000	16.031	0.000	0.000	0.00	0.00
16.031	20.290	0.000	0.000	0.00	0.00

Passive Erddruckbeiwerte

bestimmt nach: DIN 4085:2011

Schicht	UK	$k_{pgh}$ [-]	$k_{pch}$ [-]	$\varphi_k$ [°]	$\delta$ [°]	$\theta$ [°]
[ - ]	[m]					
2	10.00	6.006	6.054	32.500	-21.68	16.35
3	16.00	4.204	4.818	27.500	-18.34	19.83
4	20.29	5.005	5.388	30.000	-20.01	18.10

Passive Erddruckordinaten (Bemessungswerte)

Teilsicherheit Erdwiderstand = 1.30

Anpassungsfaktor Erdwiderstand = 0.80

von      bis      oben      unten

[m]	[m]	[kN/m <sup>2</sup> ]	[kN/m <sup>2</sup> ]
7.05	7.65	0.00	0.00
7.65	8.04	0.00	-16.64
8.04	8.24	-16.64	-30.56
8.24	8.58	-30.56	-55.11
8.58	9.03	-55.11	-82.32
9.03	10.00	-82.32	-139.75
10.00	10.65	-102.76	-117.57
10.65	11.04	-117.57	-126.68
11.04	12.03	-126.68	-149.47
12.03	13.03	-149.47	-172.26
13.03	13.23	-172.26	-176.82
13.23	14.03	-176.82	-195.34
14.03	14.34	-195.34	-202.29
14.34	16.00	-202.29	-240.50
16.00	16.03	-279.43	-280.30
16.03	20.29	-280.30	-399.30

#### Schnittgrößen (Bemessungswerte)

Tiefe [m]	N [kN/m]	Q [kN/m]	M [kN·m/m]
0.00	0.0	0.0	0.0
1.00	-13.1	-3.0	-1.0
2.00	-28.6	-12.0	-8.0
2.50	-37.3	-18.8	-15.7
3.04	-47.2	-27.7	-28.1
3.18	-50.1	-30.5	-32.3
4.03	-67.9	-49.7	-66.0
5.03	-91.9	-80.1	-130.3
5.23	-97.3	-87.6	-147.0
5.29	-99.0	-90.5	-151.8
5.79	-116.1	-118.2	-204.3
6.04	-124.8	-132.7	-235.8
7.05	-161.4	-194.7	-399.7
7.65	-184.7	-235.2	-529.1
8.04	-188.3	-232.6	-620.6
8.24	-188.9	-228.0	-665.6
8.58	-187.0	-213.0	-741.1
9.03	-179.9	-181.5	-831.8
10.00	-148.7	-74.0	-959.7
10.65	-132.8	-2.8	-985.0
11.04	-121.4	45.8	-976.5
12.03	-87.7	183.2	-864.7
13.03	-46.5	343.3	-605.3
13.23	-37.3	378.0	-533.7
14.03	2.9	528.5	-169.0
14.34	19.3	588.8	0.0

#### Schnittgrößen (g,d)

Tiefe [m]	N [kN/m]	Q [kN/m]	M [kN·m/m]
0.00	0.0	0.0	0.0
1.00	-13.1	-3.0	-1.0
2.00	-28.6	-12.0	-8.0
2.50	-37.3	-18.8	-15.7
3.04	-47.2	-27.7	-28.1
3.18	-50.1	-30.5	-32.3
4.03	-67.9	-49.7	-66.0
5.03	-91.9	-80.1	-130.3
5.23	-97.3	-87.6	-147.0
5.29	-99.0	-90.5	-151.8
5.79	-116.1	-118.2	-204.3
6.04	-124.8	-132.7	-235.8
7.05	-161.4	-194.7	-399.7
7.65	-184.7	-235.2	-529.1
8.04	-188.3	-232.6	-620.6
8.24	-188.9	-228.0	-665.6
8.58	-187.0	-213.0	-741.1
9.03	-179.9	-181.5	-831.8
10.00	-148.7	-74.0	-959.7
10.65	-132.8	-2.8	-985.0
11.04	-121.4	45.8	-976.5

12.03	-87.7	183.2	-864.7
13.03	-46.5	343.3	-605.3
13.23	-37.3	378.0	-533.7
14.03	2.9	528.5	-169.0
14.34	19.3	588.8	0.0

#### Schnittgrößen ( $[g+q], k$ )

Tiefe [m]	N [kN/m]	Q [kN/m]	M [kN·m/m]
0.00	0.0	0.0	0.0
1.00	-10.9	-2.5	-0.8
2.00	-23.9	-10.0	-6.7
2.50	-31.1	-15.7	-13.1
3.04	-39.4	-23.1	-23.4
3.18	-41.7	-25.4	-26.9
4.03	-56.6	-41.4	-55.0
5.03	-76.6	-66.8	-108.6
5.23	-81.0	-73.0	-122.5
5.29	-82.5	-75.4	-126.5
5.79	-96.7	-98.5	-170.2
6.04	-104.0	-110.5	-196.5
7.05	-134.5	-162.2	-333.1
7.65	-153.9	-196.0	-440.9
8.04	-157.0	-193.8	-517.2
8.24	-157.4	-190.0	-554.7
8.58	-155.8	-177.5	-617.6
9.03	-149.9	-151.3	-693.2
10.00	-123.9	-61.7	-799.7
10.65	-110.7	-2.3	-820.8
11.04	-101.2	38.2	-813.8
12.03	-73.1	152.7	-720.6
13.03	-38.7	286.0	-504.4
13.23	-31.1	315.0	-444.8
14.03	2.5	440.4	-140.8
14.34	16.1	490.7	0.0

#### Schnittgrößen ( $g, k$ )

Tiefe [m]	N [kN/m]	Q [kN/m]	M [kN·m/m]
0.00	0.0	0.0	0.0
1.00	-10.9	-2.5	-0.8
2.00	-23.9	-10.0	-6.7
2.50	-31.1	-15.7	-13.1
3.04	-39.4	-23.1	-23.4
3.18	-41.7	-25.4	-26.9
4.03	-56.6	-41.4	-55.0
5.03	-76.6	-66.8	-108.6
5.23	-81.0	-73.0	-122.5
5.29	-82.5	-75.4	-126.5
5.79	-96.7	-98.5	-170.2
6.04	-104.0	-110.5	-196.5
7.05	-134.5	-162.2	-333.1
7.65	-153.9	-196.0	-440.9
8.04	-157.0	-193.8	-517.2
8.24	-157.4	-190.0	-554.7
8.58	-155.8	-177.5	-617.6
9.03	-149.9	-151.3	-693.2
10.00	-123.9	-61.7	-799.7
10.65	-110.7	-2.3	-820.8
11.04	-101.2	38.2	-813.8
12.03	-73.1	152.7	-720.6
13.03	-38.7	286.0	-504.4
13.23	-31.1	315.0	-444.8
14.03	2.5	440.4	-140.8
14.34	16.1	490.7	0.0

#### Schnittgrößen ( $q, k$ )

Tiefe [m]	N [kN/m]	Q [kN/m]	M [kN·m/m]
0.00	0.0	0.0	0.0
1.00	0.0	0.0	0.0
2.00	0.0	0.0	0.0

2.50	0.0	0.0	0.0
3.04	0.0	0.0	0.0
3.18	0.0	0.0	0.0
4.03	0.0	0.0	0.0
5.03	0.0	0.0	0.0
5.23	0.0	0.0	0.0
5.29	0.0	0.0	0.0
5.79	0.0	0.0	0.0
6.04	0.0	0.0	0.0
7.05	0.0	0.0	0.0
7.65	0.0	0.0	0.0
8.04	0.0	0.0	0.0
8.24	0.0	0.0	0.0
8.58	0.0	0.0	0.0
9.03	0.0	0.0	0.0
10.00	0.0	0.0	0.0
10.65	0.0	0.0	0.0
11.04	0.0	0.0	0.0
12.03	0.0	0.0	0.0
13.03	0.0	0.0	0.0
13.23	0.0	0.0	0.0
14.03	0.0	0.0	0.0
14.34	0.0	0.0	0.0

#### Schnittgrößen (w,k)

Tiefe [m]	N [kN/m]	Q [kN/m]	M [kN·m/m]
0.00	0.0	0.0	0.0
1.00	0.0	0.0	0.0
2.00	0.0	0.0	0.0
2.50	0.0	0.0	0.0
3.04	0.0	0.0	0.0
3.18	0.0	0.0	0.0
4.03	0.0	0.0	0.0
5.03	0.0	0.0	0.0
5.23	0.0	0.0	0.0
5.29	0.0	0.0	0.0
5.79	0.0	0.0	0.0
6.04	0.0	0.0	0.0
7.05	0.0	0.0	0.0
7.65	0.0	0.0	0.0
8.04	0.0	0.0	0.0
8.24	0.0	0.0	0.0
8.58	0.0	0.0	0.0
9.03	0.0	0.0	0.0
10.00	0.0	0.0	0.0
10.65	0.0	0.0	0.0
11.04	0.0	0.0	0.0
12.03	0.0	0.0	0.0
13.03	0.0	0.0	0.0
13.23	0.0	0.0	0.0
14.03	0.0	0.0	0.0
14.34	0.0	0.0	0.0

#### Weggrößen ([g+q],k)

berechnet mit EI = 6.039E+5 kN·m<sup>2</sup>/m

Tiefe [m]	w [mm]
0.00	-80.8
1.00	-72.7
2.00	-64.6
2.50	-60.6
3.04	-56.2
3.18	-55.0
4.03	-48.2
5.03	-40.2
5.23	-38.7
5.29	-38.2
5.79	-34.3
6.04	-32.4
7.05	-24.9
7.65	-20.7

8.04	-18.1
8.24	-16.8
8.58	-14.7
9.03	-12.1
10.00	-7.3
10.65	-4.8
11.04	-3.6
12.03	-1.3
13.03	-0.3
13.23	-0.2
14.03	0.0
14.34	0.0

Verdrehung (Theoretischer Fußpunkt) [°]

phi,[g+q],k: 0.00000000  
Theoretischer Fußpunkt = 14.336 m

Nachweis Aufgelöste Bohrpfahlwand

E = 3000.00 kN/cm<sup>2</sup>

I = 3220623.34 cm<sup>4</sup>/m

Bewehrung EC 2 / DIN 1045-1

Beton C 30/37

Stahl BSt 500/550

M(d) = 1576.0 kN · m

N(d) = -212.4 kN

eps(c2) [o/oo] = -3.50

ep(s1) [o/oo] = 7.57

As [cm<sup>2</sup>] = 112.7 (Mindestbew. = 25.0 cm<sup>2</sup>)

Pfahldurchmesser = 0.900 m

d1 = 0.0750 m

sig1(l) = 21.69 / sig2(l) = -22.35 MN/m<sup>2</sup>

Schubbewehrung:

Q(d) = VSd = 471.0 kN (bw = 0.769 m z = 0.548 m)

M(d) = 47.1 kN·m; N(d) = 26.5 kN

tauRd,max = 3.83 N/mm<sup>2</sup> (tauSd / tauRd,max = 0.2922)

As(Schub) = 8.4 cm<sup>2</sup>/m (Mindestbew.)

Nachweis der Beton-Ausfachung:

max eah,d = 69.2 kN/m<sup>2</sup>

Ausfachungsdicke = 0.412 m

Dicke Druckgewölbe = 0.206 m

f,cd = 9444.4 kN/m<sup>2</sup>

sigma(d) = 522.04 kN/m<sup>2</sup>

Nachweis OK

max M<sub>d</sub> = 985.0 kN·m/m (Tiefe = 10.65 m)

Zugehörige Werte: N<sub>d</sub> = -132.8 kN/m; Q<sub>d</sub> = -2.8 kN/m; w<sub>k</sub> = 4.8 mm

max Q<sub>d</sub> = 588.8 kN·m/m (Tiefe = 14.34 m)

Zugehörige Werte: N<sub>d</sub> = 19.3 kN/m; M<sub>d</sub> = 0.0 kN·m/m; w<sub>k</sub> = 0.0 mm

max N<sub>d</sub> = 188.9 kN/m (Tiefe = 8.24 m)

Zugehörige Werte: Q<sub>d</sub> = -228.0 kN/m; M<sub>d</sub> = -665.6 kN·m/m; w<sub>k</sub> = 20.2 mm

max w<sub>k</sub> = 80.8 mm (Tiefe = 0.00 m)

Zugehörige Werte: N<sub>d</sub> = 0.0 kN/m; Q<sub>d</sub> = 0.0 kN/m; M<sub>d</sub> = 0.0 kN·m/m

Vergrößerung der Einbindetiefe um 20.00 %

Einbindetiefe t<sub>g</sub> = 8.02 m

Profillänge = 15.67 m

Nachweis Summe H

Eph,d = 1446.74 kN/m

(Eph,d mit Wandreibungswinkel = -φ ermittelt)

(Eph,d berechnet mit Anpassungsfaktor von: 1.000)

Eah,d = 652.06 kN/m

Bh,d' = Bh,d - 0,5 · C<sub>h,d</sub>

Bh,d = 822.07 kN/m ; C<sub>h,d</sub> = 588.80 kN/m

Bh,d' = 527.67 kN/m

(Bh,d über rechnerisches Auflager)

Eah,d + Bh,d' <= Eph,d (Nachweis OK)

$$\begin{aligned}\mu &= (E_{ah,d} + B_{h,d}) / E_{ph,d} \\ \mu &= (652.06 + 527.67) / 1446.74 \\ \mu &= 1179.73 / 1446.74 = 0.82\end{aligned}$$

Nachweis Summe V

Das Vorzeichen ist positiv, wenn Kraftgröße nach unten gerichtet ist.

Bei Trägerbohlwänden berechnet sich  $E_{pv}$  ( $B_v$ ) aus dem Reibungs- und dem Kohäsionsanteil unterschiedlich. Der Reibungsanteil wird dabei nur vor dem Bohlträger angesetzt. Für  $C_h$  und  $C_v$  erfolgt eine analoge Annahme.

Nachweis des mobilisierten Erdwiderstands

Bedingung:  $G_k + P_{v,k} + E_{av,k} + 0.5 \cdot C_{h,k} \cdot \tan(\delta_c) \geq (B_{h,k} - 0.5 \cdot C_{h,k}) \cdot \tan(\delta_p)$

$$G_k = 249.26 \text{ kN}$$

$$P_{v,k} = 0.00 \text{ kN}$$

$$E_{av,k} = 122.80 \text{ kN} (E_{ah,k} = 308.95 \text{ kN})$$

$$C_{h,k} = 441.60 \text{ kN}$$

$$B_{v,k} = -212.86 \text{ kN}$$

$$\delta_p [^\circ] = -18.3$$

$$\delta_c [^\circ] = 9.2$$

$$\text{Summe } V_k = 268.01 \text{ kN (Druck)}$$

Nachweis der vertikalen Tragfähigkeit  
(Erfahrungswerte nach EA Pfähle)

Verfahren 1: EAU Bild E 4-3 (links)

Aufgelöste Wand D = 90.00 cm

$$R_{Bv,d} = (B_{h,k} - 1/2 \cdot C_{h,k}) \cdot \tan(\delta_p) / \gamma_{Ep}$$

$$R_{Bv,d} = (617.99 - 1/2 \cdot 441.60) \cdot \tan(18.3^\circ) / 1.30 = 101.30 \text{ kN}$$

$$R_{Cv,d} = 1/2 \cdot C_{h,k} \cdot \tan(\delta_c) / \gamma_{Ep}$$

$$R_{Cv,d} = 1/2 \cdot 441.60 \cdot \tan(18.3^\circ) / 1.30 = 56.31 \text{ kN}$$

Verhältniswert (min, max) = 0.00

$$\text{Spitzendruck } q_{c,m} = 10.00 \text{ MN/m}^2$$

(gemittelt von 14.77 bis 18.37 m) ==>  $q_{b,k} = 2.07 \text{ MN/m}^2$

$$R_{b,d} = A \cdot q_{b,k} / \gamma_{qb,k} = 0.6362 \cdot 2.07 \cdot 1000 / 1.40 = 939.11 \text{ kN}$$

Mantelreibung

von	bis	$q_{s,k} [\text{kN/m}^2]$	Bezeichnung
7.65	10.00	71.67	3b
10.00	15.67	71.67	3c

Mantelfläche bis 15.67 m = 1.414 m<sup>2</sup>/m ==>  $R_{s1,d}$

$$R_{s1,d} = \eta(s) \cdot R_{s1,k} / \gamma_{qs,k} = 1.000 \cdot 812.84 / 1.40 = 580.60 \text{ kN}$$

$$R_d = R_{Bv,d} + R_{Cv,d} + R_{b,d} + R_{s1,d} = 1677.32 \text{ kN}$$

Einwirkungen

$$V_d = G_d + E_{av,d} + P_{v,d} = 299.12 + 147.37 + 0.00 = 446.48 \text{ kN}$$

$$==> \mu = V_d / R_d = 446.48 / 1677.32 = 0.27$$

Horizontaler Wasserdruk herkömmlich bestimmt.

Nachweis Aufbruchsicherheit nach EB 99

Verkehrslasten vereinfacht nach EAB EB 104 berücksichtigt

Faktor Verkehrslasten fQ = 1.300 / 1.200 = 1.083

Teilsicherheit (Grundbruch)  $\gamma_{Gr} = 1.300$

Breite = 1.53 m

Gewicht  $G_k$  (einschließlich Verkehr) = 483.93 [kN/m]

(Verkehr erhöht mit Faktor = 1.083)

$$E_{av,k} (\delta = 2/3 \cdot \varphi) = 320.92 \text{ [kN/m]}$$

$$\text{Kohäsionskraft } K_k = 0.00 \text{ [kN/m]}$$

$$\text{Grundbruchlast } P_{g,k} = 8175.28 \text{ [kN/m]}$$

Grundbruch mit:

$$\text{Reibungswinkel } \varphi_k = 30.21 [^\circ]$$

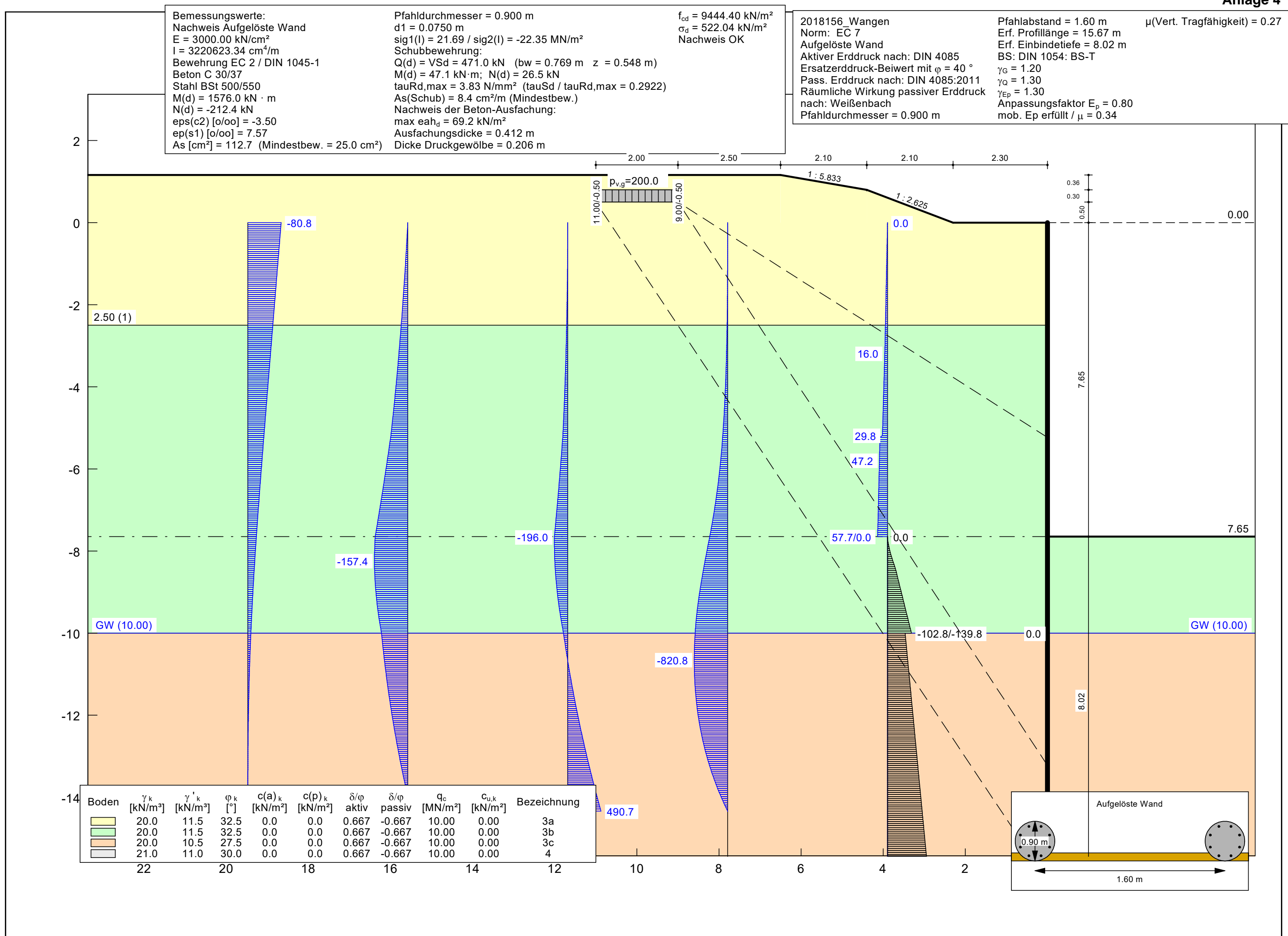
$$\text{Kohäsion } c_k = 0.00 \text{ [kN/m}^2]$$

$$N_d = 18.847 / N_b = 10.392 / N_c = 30.651$$

$$\sigma_u = 266.292 \text{ [kN/m}^2]$$

$$\mu_{ue} = [G_k \cdot \gamma_G] / [(P_{g,k} + K_k + E_{av,k}) / \gamma_{Gr}] = 0.089$$

$$\mu_{ue} = [483.93 \cdot 1.20] / [(8175.28 + 0.00) / 1.300 + 320.92] = 0.089$$



Aufgelöste Bohrpfahlwand  
=====

Teilsicherheitskonzept (EC 7)

2018156\_Wangen

Indices:

d = Bemessungswert  
 k = charakteristisch  
 g = Ständig, einschließlich Wasserdruck  
 q = Veränderlich  
 g+q = Ständig + Veränderlich, einschließlich Wasserdruck  
 w = Wasserdruck

Alle Höhenangaben beziehen sich auf den Wandkopf.

Maximale Teilung bis Baugrubensohle: 0.050 m

Maximale Teilung unter Baugrubensohle: 0.050 m

Baugrubensohle = 7.35 m

Räumliche Wirkung passiver Erddruck

nach: Weißenbach

Bohlträgerbreite = 0.900 m

Bohlträgerabstand = 1.60 m

Grundwasserstand (Erdseite) = 10.00 m

Grundwasserstand (Luftseite) = 10.00 m

Wasserdruck auf "0.0" gesetzt, wenn zur Erdseite gerichtet.

Teilsicherheiten

BS: DIN 1054: BS-P

$\gamma_G = 1.35$

$\gamma_Q = 1.50$

$\gamma_{Ep} = 1.40$

Anpassungsfaktor Erdwiderstand = 0.80

Bermen auf der Aktivseite

Nr.	x1	x2	dh	a	x	y	Auflast	Verkehr
[ - ]	[ m ]	[ m ]	[ m ]	[ m ]	[ m ]	[ m ]	[ kN/m <sup>2</sup> ]	[ - ]
1	0.50	6.50	1.13	0.09	0.65	7.81	0.00	nein

Der Einfluss von Aktivbermen auf den aktiven Erddruck wird gemäß den Beziehungen in "Spundwand-Handbuch Berechnung (1977) Abschnitt 4.9.2.2" berechnet.

Blocklasten

Aktiver Erddruck für Blocklasten verwendet

Nr.	sig(v)	sig(h)	x(Luftseite)	x(Erdseite)	Tiefe
[ - ]	[ kN/m <sup>2</sup> ]	[ kN/m <sup>2</sup> ]	[ m ]	[ m ]	[ m ]
1	200.00	0.00	9.00	11.00	0.00

Nr.	y(oben)	y(mitte)	y(unten)	p(oben)	p(mitte)	p(unten)	Typ
[ - ]	[ m ]	[ m ]	[ m ]	[ kN/m <sup>2</sup> ]	[ kN/m <sup>2</sup> ]	[ kN/m <sup>2</sup> ]	
1	5.73	13.67	16.50	14.15	14.15	14.15	0

Typ = 0 ==> rechteckförmig verteilt

Blocklasten nicht umgelagert

Art des Fußlagers:

Profillänge automatisch

Nachweis Fußauflager erbracht mit folgenden Kräften:

Eph,d = 814.70 kN/m (Epv,d = -282.69 kN/m)

Ausnutzungsgrad (Erdwiderstand) = Bh,d / Eph,d = 1.000

Bh(g+q),d = 814.70 kN/m

Bh,g,d = 814.70 kN/m

Bh,q,d = 0.00 kN/m

Bh,w,d = 0.00 kN/m

**Ersatzkräfte  $C_h$  (Blum)**

$C_{h,k} = 428.61 \text{ kN/m}$

$C_{h,g,k} = 428.61 \text{ kN/m}$

$C_{h,q,k} = 0.00 \text{ kN/m}$

$C_{h,w,k} = 0.00 \text{ kN/m}$

**Bodenkennwerte**

Schicht	UK	$\gamma_k$ [kN/m³]	$\gamma'_k$ [kN/m³]	$\phi_k$ [°]	$c(\text{akt}),k$ [kN/m²]	$c(\text{pas}),k$ [kN/m²]	$d(a)/\phi$ [-]	$d(p)/\phi$ [-]	$q_c$ [MN/m²]	$c_u,k$ [kN/m²]
1	2.50	20.00	11.50	32.50	0.00	0.00	0.667	-	10.00	0.00
2	10.00	20.00	11.50	32.50	0.00	0.00	0.667	-0.667	10.00	0.00
3	16.00	20.00	10.50	27.50	0.00	0.00	0.667	-0.667	10.00	0.00
4	20.29	21.00	11.00	30.00	0.00	0.00	0.667	-0.667	10.00	0.00

**Aktive Erddruckbeiwerte**

Ersatzerddruck-Beiwert mit  $\phi = 40^\circ$

Ersatzerddruck-Beiwert kah wird angewendet, wenn Kohäsion  $<> 0.0$ .

Ersatzerddruck-Beiwert kah wird nur auf ständige Lasten angewendet.

bestimmt nach: DIN 4085

(Erddruckbeiwerte für horizontales Gelände)

Schicht	UK	$k_{agh}$ [-]	$k_{ach}$ [-]	$\phi_k$ [°]	$\delta$ [°]	$\theta$ [°]	$kagh(40^\circ)$ [-]
1	2.50	0.251	0.866	32.500	21.68	57.46	0.179
2	10.00	0.251	0.866	32.500	21.68	57.46	0.179
3	16.00	0.311	0.980	27.500	18.34	54.50	0.179
4	20.29	0.279	0.921	30.000	20.01	55.98	0.179

**Aktive Erddruckordinaten ( $[g+q],k$ )**

von [m]	bis [m]	oben [kN/m²]	unten [kN/m²]	Wasserdruck oben[kN/m²]	Wasserdruck unten[kN/m²]
0.000	0.745	0.000	3.735	0.00	0.00
0.745	1.046	3.735	5.461	0.00	0.00
1.046	2.049	5.461	11.214	0.00	0.00
2.049	2.500	11.214	13.803	0.00	0.00
2.500	3.047	13.803	16.943	0.00	0.00
3.047	4.042	16.943	22.652	0.00	0.00
4.042	5.037	22.652	28.360	0.00	0.00
5.037	5.734	28.360	32.356	0.00	0.00
5.734	6.037	32.356	48.246	0.00	0.00
6.037	7.047	48.246	54.043	0.00	0.00
7.047	7.350	54.043	55.781	0.00	0.00
7.350	8.003	0.000	0.000	0.00	0.00
8.003	8.556	0.000	0.000	0.00	0.00
8.556	9.004	0.000	0.000	0.00	0.00
9.004	10.000	0.000	0.000	0.00	0.00
10.000	10.403	0.000	0.000	0.00	0.00
10.403	11.006	0.000	0.000	0.00	0.00
11.006	12.013	0.000	0.000	0.00	0.00
12.013	13.019	0.000	0.000	0.00	0.00
13.019	13.673	0.000	0.000	0.00	0.00
13.673	14.020	0.000	0.000	0.00	0.00
14.020	14.119	0.000	0.000	0.00	0.00
14.119	16.000	0.000	0.000	0.00	0.00
16.000	16.504	0.000	0.000	0.00	0.00
16.504	20.290	0.000	0.000	0.00	0.00

**Passive Erddruckbeiwerte**

bestimmt nach: DIN 4085:2011

Schicht	UK	$k_{pgh}$ [-]	$k_{pch}$ [-]	$\phi_k$ [°]	$\delta$ [°]	$\theta$ [°]
2	10.00	6.006	6.054	32.500	-21.68	16.35
3	16.00	4.204	4.818	27.500	-18.34	19.83
4	20.29	5.005	5.388	30.000	-20.01	18.10

**Passive Erddruckordinaten (Bemessungswerte)**

Teilsicherheit Erdwiderstand = 1.40

Anpassungsfaktor Erdwiderstand = 0.80

von [m]	bis [m]	oben [kN/m²]	unten [kN/m²]
7.05	7.35	0.00	0.00
7.35	8.00	0.00	-33.47
8.00	8.56	-33.47	-66.61

8.56	9.00	-66.61	-91.36
9.00	10.00	-91.36	-146.33
10.00	10.40	-107.60	-116.18
10.40	11.01	-116.18	-129.05
11.01	12.01	-129.05	-150.50
12.01	13.02	-150.50	-171.95
13.02	13.67	-171.95	-185.90
13.67	14.02	-185.90	-193.29
14.02	14.12	-193.29	-195.40
14.12	16.00	-195.40	-235.50
16.00	16.50	-273.62	-286.69
16.50	20.29	-286.69	-384.93

Schnittgrößen (Bemessungswerte)

Tiefe [m]	N [kN/m]	Q [kN/m]	M [kN·m/m]
0.00	0.0	0.0	0.0
0.75	-10.7	-1.9	-0.5
1.05	-15.5	-3.7	-1.3
2.05	-33.5	-15.0	-10.1
2.50	-42.6	-22.7	-18.5
3.05	-54.4	-34.0	-33.9
4.04	-78.3	-60.6	-80.3
5.04	-105.3	-94.9	-157.0
5.73	-126.0	-123.4	-232.8
6.04	-137.6	-142.3	-273.0
7.05	-178.9	-212.1	-451.3
7.35	-191.9	-234.5	-519.0
8.00	-197.1	-225.8	-670.6
8.56	-193.4	-197.6	-788.5
9.00	-185.3	-162.3	-869.5
10.00	-151.7	-44.2	-976.8
10.40	-142.2	0.8	-985.6
11.01	-125.8	74.7	-963.2
12.01	-92.8	215.1	-819.2
13.02	-52.6	377.0	-523.1
13.67	-22.7	493.8	-238.8
14.02	-5.6	559.4	-56.3
14.12	-0.5	578.6	0.0

Schnittgrößen (g,d)

Tiefe [m]	N [kN/m]	Q [kN/m]	M [kN·m/m]
0.00	0.0	0.0	0.0
0.75	-10.7	-1.9	-0.5
1.05	-15.5	-3.7	-1.3
2.05	-33.5	-15.0	-10.1
2.50	-42.6	-22.7	-18.5
3.05	-54.4	-34.0	-33.9
4.04	-78.3	-60.6	-80.3
5.04	-105.3	-94.9	-157.0
5.73	-126.0	-123.4	-232.8
6.04	-137.6	-142.3	-273.0
7.05	-178.9	-212.1	-451.3
7.35	-191.9	-234.5	-519.0
8.00	-197.1	-225.8	-670.6
8.56	-193.4	-197.6	-788.5
9.00	-185.3	-162.3	-869.5
10.00	-151.7	-44.2	-976.8
10.40	-142.2	0.8	-985.6
11.01	-125.8	74.7	-963.2
12.01	-92.8	215.1	-819.2
13.02	-52.6	377.0	-523.1
13.67	-22.7	493.8	-238.8
14.02	-5.6	559.4	-56.3
14.12	-0.5	578.6	0.0

Schnittgrößen ([g+q],k)

Tiefe [m]	N [kN/m]	Q [kN/m]	M [kN·m/m]
0.00	0.0	0.0	0.0
0.75	-8.0	-1.4	-0.3

1.05	-11.5	-2.8	-1.0
2.05	-24.8	-11.1	-7.5
2.50	-31.5	-16.8	-13.7
3.05	-40.3	-25.2	-25.1
4.04	-58.0	-44.9	-59.5
5.04	-78.0	-70.3	-116.3
5.73	-93.3	-91.4	-172.5
6.04	-101.9	-105.4	-202.2
7.05	-132.5	-157.1	-334.3
7.35	-142.1	-173.7	-384.4
8.00	-146.0	-167.2	-496.7
8.56	-143.2	-146.4	-584.0
9.00	-137.3	-120.2	-644.1
10.00	-112.4	-32.7	-723.5
10.40	-105.4	0.6	-730.1
11.01	-93.2	55.3	-713.5
12.01	-68.7	159.3	-606.8
13.02	-39.0	279.3	-387.5
13.67	-16.8	365.8	-176.9
14.02	-4.1	414.4	-41.7
14.12	-0.4	428.6	0.0

#### Schnittgrößen (g,k)

Tiefe [m]	N [kN/m]	Q [kN/m]	M [kN·m/m]
0.00	0.0	0.0	0.0
0.75	-8.0	-1.4	-0.3
1.05	-11.5	-2.8	-1.0
2.05	-24.8	-11.1	-7.5
2.50	-31.5	-16.8	-13.7
3.05	-40.3	-25.2	-25.1
4.04	-58.0	-44.9	-59.5
5.04	-78.0	-70.3	-116.3
5.73	-93.3	-91.4	-172.5
6.04	-101.9	-105.4	-202.2
7.05	-132.5	-157.1	-334.3
7.35	-142.1	-173.7	-384.4
8.00	-146.0	-167.2	-496.7
8.56	-143.2	-146.4	-584.0
9.00	-137.3	-120.2	-644.1
10.00	-112.4	-32.7	-723.5
10.40	-105.4	0.6	-730.1
11.01	-93.2	55.3	-713.5
12.01	-68.7	159.3	-606.8
13.02	-39.0	279.3	-387.5
13.67	-16.8	365.8	-176.9
14.02	-4.1	414.4	-41.7
14.12	-0.4	428.6	0.0

#### Schnittgrößen (q,k)

Tiefe [m]	N [kN/m]	Q [kN/m]	M [kN·m/m]
0.00	0.0	0.0	0.0
0.75	0.0	0.0	0.0
1.05	0.0	0.0	0.0
2.05	0.0	0.0	0.0
2.50	0.0	0.0	0.0
3.05	0.0	0.0	0.0
4.04	0.0	0.0	0.0
5.04	0.0	0.0	0.0
5.73	0.0	0.0	0.0
6.04	0.0	0.0	0.0
7.05	0.0	0.0	0.0
7.35	0.0	0.0	0.0
8.00	0.0	0.0	0.0
8.56	0.0	0.0	0.0
9.00	0.0	0.0	0.0
10.00	0.0	0.0	0.0
10.40	0.0	0.0	0.0
11.01	0.0	0.0	0.0
12.01	0.0	0.0	0.0
13.02	0.0	0.0	0.0

13.67	0.0	0.0	0.0
14.02	0.0	0.0	0.0
14.12	0.0	0.0	0.0

#### Schnittgrößen (w,k)

Tiefe [m]	N [kN/m]	Q [kN/m]	M [kN·m/m]
0.00	0.0	0.0	0.0
0.75	0.0	0.0	0.0
1.05	0.0	0.0	0.0
2.05	0.0	0.0	0.0
2.50	0.0	0.0	0.0
3.05	0.0	0.0	0.0
4.04	0.0	0.0	0.0
5.04	0.0	0.0	0.0
5.73	0.0	0.0	0.0
6.04	0.0	0.0	0.0
7.05	0.0	0.0	0.0
7.35	0.0	0.0	0.0
8.00	0.0	0.0	0.0
8.56	0.0	0.0	0.0
9.00	0.0	0.0	0.0
10.00	0.0	0.0	0.0
10.40	0.0	0.0	0.0
11.01	0.0	0.0	0.0
12.01	0.0	0.0	0.0
13.02	0.0	0.0	0.0
13.67	0.0	0.0	0.0
14.02	0.0	0.0	0.0
14.12	0.0	0.0	0.0

#### Weggrößen ([g+q],k)

berechnet mit EI = 6.039E+5 kN·m<sup>2</sup>/m

Tiefe [m]	w [mm]
0.00	-70.4
0.75	-65.0
1.05	-62.8
2.05	-55.5
2.50	-52.3
3.05	-48.3
4.04	-41.2
5.04	-34.2
5.73	-29.3
6.04	-27.3
7.05	-20.7
7.35	-18.8
8.00	-15.0
8.56	-12.0
9.00	-9.8
10.00	-5.7
10.40	-4.3
11.01	-2.7
12.01	-0.9
13.02	-0.1
13.67	0.0
14.02	0.0
14.12	0.0

#### Verdrehung (Theoretischer Fußpunkt) [°]

phi,[g+q],k: 0.00000000

Theoretischer Fußpunkt = 14.119 m

#### Nachweis Aufgelöste Bohrpahlwand

E = 3000.00 kN/cm<sup>2</sup>

I = 3220623.34 cm<sup>4</sup>/m

Bewehrung EC 2 / DIN 1045-1

Beton C 30/37

Stahl BSt 500/550

M(d) = 1577.0 kN · m

N(d) = -227.6 kN

$\text{eps(c2)} [\text{o/oo}] = -3.50$   
 $\text{ep(s1)} [\text{o/oo}] = 7.55$   
 $A_s [\text{cm}^2] = 112.5$  (Mindestbew. =  $25.0 \text{ cm}^2$ )  
Pfahldurchmesser = 0.900 m  
 $d_1 = 0.0750 \text{ m}$   
 $\text{sig1}(l) = 21.68 / \text{sig2}(l) = -22.39 \text{ MN/m}^2$   
Schubbewehrung:  
 $Q(d) = V_{sd} = 462.9 \text{ kN}$  ( $b_w = 0.769 \text{ m}$   $z = 0.548 \text{ m}$ )  
 $M(d) = 45.5 \text{ kN}\cdot\text{m}$ ;  $N(d) = -4.9 \text{ kN}$   
 $\tau_{rd,max} = 3.83 \text{ N/mm}^2$  ( $\tau_{sd} / \tau_{rd,max} = 0.2872$ )  
 $A_s(\text{Schub}) = 8.4 \text{ cm}^2/\text{m}$  (Mindestbew.)

Nachweis der Beton-Ausfachung:

max  $e_{ah,d} = 75.3 \text{ kN/m}^2$   
Ausfachungsdicke = 0.412 m  
Dicke Druckgewölbe = 0.206 m  
 $f_{cd} = 9444.4 \text{ kN/m}^2$   
 $\sigma(d) = 567.86 \text{ kN/m}^2$   
Nachweis OK

max  $M_d = 985.6 \text{ kN}\cdot\text{m}/\text{m}$  (Tiefe = 10.40 m)  
Zugehörige Werte:  $N_d = -142.2 \text{ kN/m}$ ;  $Q_d = 0.8 \text{ kN/m}$ ;  $w_k = 4.3 \text{ mm}$

max  $Q_d = 578.6 \text{ kN}\cdot\text{m}/\text{m}$  (Tiefe = 14.12 m)  
Zugehörige Werte:  $N_d = -0.5 \text{ kN/m}$ ;  $M_d = 0.0 \text{ kN}\cdot\text{m}/\text{m}$ ;  $w_k = 0.0 \text{ mm}$

max  $N_d = 197.1 \text{ kN/m}$  (Tiefe = 8.00 m)  
Zugehörige Werte:  $Q_d = -225.8 \text{ kN/m}$ ;  $M_d = -670.6 \text{ kN}\cdot\text{m}/\text{m}$ ;  $w_k = 20.2 \text{ mm}$

max  $w_k = 70.4 \text{ mm}$  (Tiefe = 0.00 m)  
Zugehörige Werte:  $N_d = 0.0 \text{ kN/m}$ ;  $Q_d = 0.0 \text{ kN/m}$ ;  $M_d = 0.0 \text{ kN}\cdot\text{m}/\text{m}$

Vergrößerung der Einbindetiefe um 20.00 %  
Einbindetiefe  $t_g = 8.12 \text{ m}$   
Profillänge = 15.47 m

Nachweis Summe H  
 $E_{ph,d} = 1438.64 \text{ kN/m}$   
( $E_{ph,d}$  mit Wandreibungswinkel =  $-\varphi$  ermittelt)  
( $E_{ph,d}$  berechnet mit Anpassungsfaktor von: 1.000)  
 $E_{ah,d} = 726.63 \text{ kN/m}$   
 $B_{h,d}' = B_{h,d} - 0.5 \cdot C_{h,d}$   
 $B_{h,d} = 814.70 \text{ kN/m}$ ;  $C_{h,d} = 578.63 \text{ kN/m}$   
 $B_{h,d}' = 525.39 \text{ kN/m}$   
( $B_{h,d}$  über rechnerisches Auflager)  
 $E_{ah,d} + B_{h,d}' \leq E_{ph,d}$  (Nachweis OK)  
 $\mu = (E_{ah,d} + B_{h,d}') / E_{ph,d}$   
 $\mu = (726.63 + 525.39) / 1438.64$   
 $\mu = 1252.02 / 1438.64 = 0.87$

Nachweis Summe V  
Das Vorzeichen ist positiv, wenn Kraftgröße nach unten gerichtet ist.

Bei Trägerbohlwänden berechnet sich  $E_{pv}$  ( $B_v$ ) aus dem Reibungs- und dem Kohäsionsanteil unterschiedlich. Der Reibungsanteil wird dabei nur vor dem Bohlträger angesetzt. Für  $C_h$  und  $C_v$  erfolgt eine analoge Annahme.

Nachweis des mobilisierten Erdwiderstands  
Bedingung:  $G_k + P_{v,k} + E_{av,k} + 0.5 \cdot C_{h,k} \cdot \tan(\delta_c) \geq (B_{h,k} - 0.5 \cdot C_{h,k}) \cdot \tan(\delta_p)$   
 $G_k = 246.08 \text{ kN}$   
 $P_{v,k} = 0.00 \text{ kN}$   
 $E_{av,k} = 108.70 \text{ kN}$  ( $E_{ah,k} = 273.46 \text{ kN}$ )  
 $C_{h,k} = 385.75 \text{ kN}$   
 $B_{v,k} = -188.10 \text{ kN}$   
 $\delta_p [^\circ] = -18.3$   
 $\delta_c [^\circ] = 9.2$   
Summe  $V_k = 261.72 \text{ kN}$  (Druck)

Nachweis der vertikalen Tragfähigkeit  
(Erfahrungswerte nach EA Pfähle)  
Verfahren 1: EAU Bild E 4-3 (links)  
Aufgelöste Wand D = 90.00 cm

$$R_{Bv,d} = (B_{h,k} - 1/2 \cdot C_{h,k}) \cdot \tan(\delta_p) / \gamma_{Ep}$$

$$R_{Bv,d} = (542.10 - 1/2 \cdot 385.75) \cdot \tan(18.3^\circ) / 1.40 = 82.70 \text{ kN}$$

$$R_{Cv,d} = 1/2 \cdot C_{h,k} \cdot \tan(\delta_c) / \gamma_{Ep}$$

$$R_{Cv,d} = 1/2 \cdot 385.75 \cdot \tan(18.3^\circ) / 1.40 = 45.68 \text{ kN}$$

Verhältniswert (min, max) = 0.00

Spitzendruck  $q_{c,m} = 10.00 \text{ MN/m}^2$

(gemittelt von 14.57 bis 18.17 m) ==>  $q_{b,k} = 2.07 \text{ MN/m}^2$

$$R_{b,d} = A \cdot q_{b,k} / \gamma_{qb,k} = 0.6362 \cdot 2.07 \cdot 1000 / 1.40 = 939.11 \text{ kN}$$

#### Mantelreibung

von	bis	$q_{s,k} [\text{kN/m}^2]$	Bezeichnung
7.35	10.00	71.67	3b
10.00	15.47	71.67	3c
Mantelfläche bis 15.47 m = 1.414 m <sup>2</sup> /m ==> $R_{s1,d}$			
$R_{s1,d} = \eta(s) \cdot R_{s1,k} / \gamma_{qs,k} = 1.000 \cdot 822.94 / 1.40 = 587.81 \text{ kN}$			
$R_d = R_{Bv,d} + R_{Cv,d} + R_{b,d} + R_{s1,d} = 1655.30 \text{ kN}$			

#### Einwirkungen

$$V_d = G_d + E_{av,d} + P_{v,d} = 332.21 + 146.74 + 0.00 = 478.95 \text{ kN}$$

$$==> \mu = V_d / R_d = 478.95 / 1655.30 = 0.29$$

Horizontaler Wasserdruk herkömmlich bestimmt.

Nachweis Aufbruchsicherheit nach EB 99

Verkehrslasten vereinfacht nach EAB EB 104 berücksichtigt

Faktor Verkehrslasten  $f_Q = 1.500 / 1.350 = 1.111$

Teilsicherheit (Grundbruch)  $\gamma_{Gr} = 1.400$

Breite = 1.47 m

Gewicht  $G_k$  (einschließlich Verkehr) = 460.69 [kN/m]

(Verkehr erhöht mit Faktor = 1.111)

$E_{av,k} (\delta = 2/3 \cdot \varphi) = 312.99 \text{ [kN/m]}$

Kohäsionskraft  $K_k = 0.00 \text{ [kN/m]}$

Grundbruchlast  $P_{g,k} = 7722.23 \text{ [kN/m]}$

Grundbruch mit:

Reibungswinkel  $\varphi_k = 30.21^\circ$

Kohäsion  $c_k = 0.00 \text{ [kN/m}^2]$

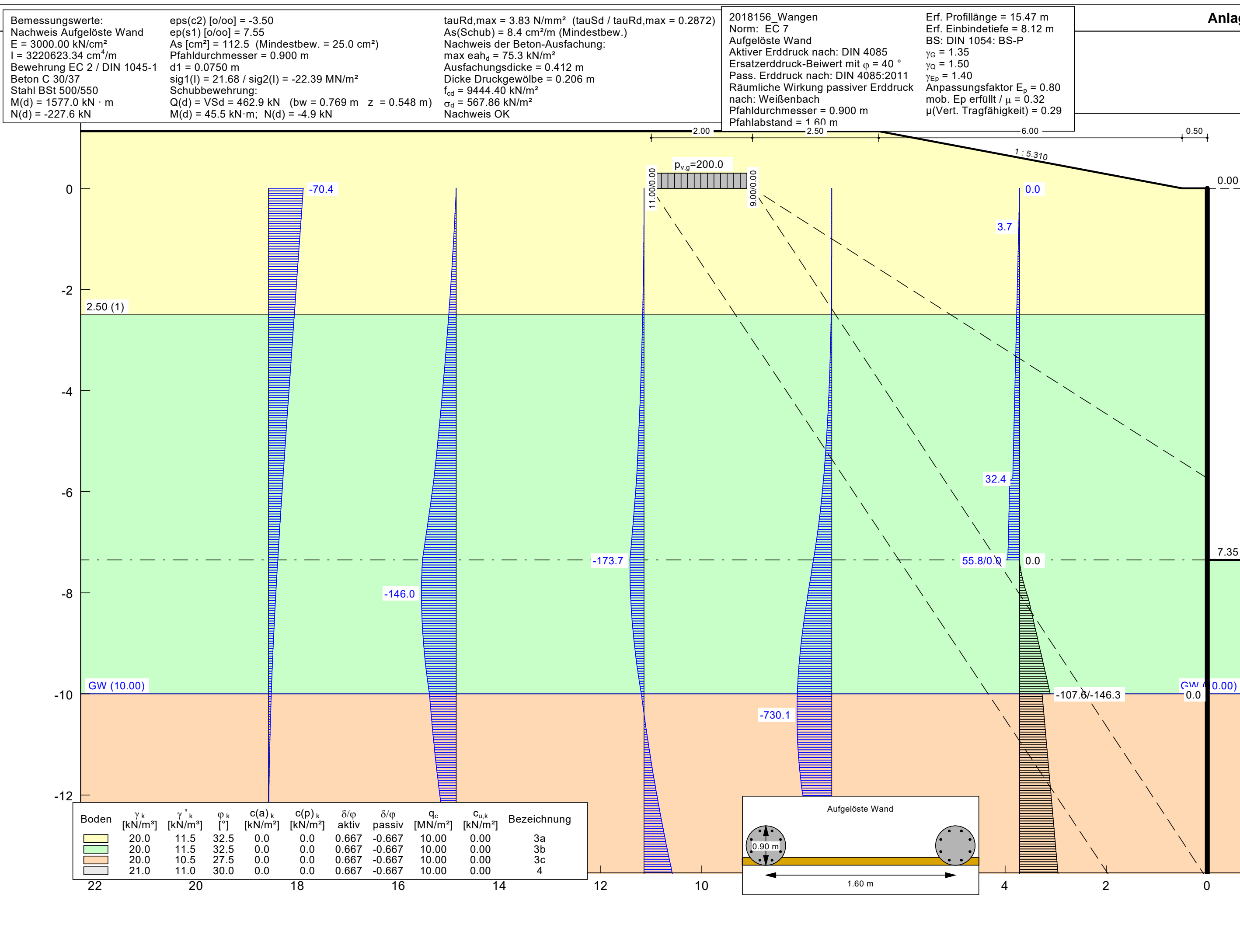
$N_d = 18.847 / N_b = 10.392 / N_c = 30.651$

$\sigma_u = 262.186 \text{ [kN/m}^2]$

$\mu_{ue} = [G_k \cdot \gamma_G] / [(P_{g,k} + K_k + E_{av,k}) / \gamma_{Gr}] = 0.108$

$\mu_{ue} = [460.69 \cdot 1.35] / [(7722.23 + 0.00) / 1.400 + 312.99] = 0.108$

# Anlage 5



Aufgelöste Bohrpfahlwand  
=====

Teilsicherheitskonzept (EC 7)

2018156\_Wangen

Datei: überschnittene\_Bohrpfahlwand\_380\_Bauzustand ohne Anker.vrb

Indices:

d = Bemessungswert

k = charakteristisch

g = Ständig, einschließlich Wasserdruk

q = Veränderlich

g+q = Ständig + Veränderlich, einschließlich Wasserdruk

w = Wasserdruk

Alle Höhenangaben beziehen sich auf den Wandkopf.

Maximale Teilung bis Baugrubensohle: 0.050 m

Maximale Teilung unter Baugrubensohle: 0.050 m

Baugrubensohle = 6.70 m

Räumliche Wirkung passiver Erddruck

nach: Weißenbach

Bohlträgerbreite = 0.900 m

Bohlträgerabstand = 1.60 m

Grundwasserstand (Erdseite) = 10.20 m

Grundwasserstand (Luftseite) = 10.20 m

Wasserdruk auf "0.0" gesetzt, wenn zur Erdseite gerichtet.

Teilsicherheiten

BS: DIN 1054: BS-T

$\gamma_G = 1.20$

$\gamma_Q = 1.30$

$\gamma_{Ep} = 1.30$

Anpassungsfaktor Erdwiderstand = 0.80

Bermen auf der Aktivseite

Nr.	x1	x2	dh	a	x	y	Auflast	Verkehr
[ - ]	[ m ]	[ m ]	[ m ]	[ m ]	[ m ]	[ m ]	[ kN/m² ]	[ - ]
1	0.50	9.00	5.60	0.32	0.17	2.95	0.00	nein
2	9.00	14.00	1.30	2.34	10.75	5.97	0.00	nein

Der Einfluss von Aktivbermen auf den aktiven Erddruck wird gemäß den Beziehungen in "Spundwand-Handbuch Berechnung (1977) Abschnitt 4.9.2.2" berechnet.

Art des Fußlagers:

Profillänge automatisch

Nachweis Fußauflager erbracht mit folgenden Kräften:

$Eph,d = 1030.36 \text{ kN/m}$  ( $Epv,d = -362.74 \text{ kN/m}$ )

Ausnutzungsgrad (Erdwiderstand) =  $Bh,d / Eph,d = 1.000$

$Bh(g+q),d = 1030.36 \text{ kN/m}$

$Bh,g,d = 1030.36 \text{ kN/m}$

$Bh,q,d = 0.00 \text{ kN/m}$

$Bh,w,d = 0.00 \text{ kN/m}$

Ersatzkräfte  $C_h$  (Blum)

$C_{h,k} = 613.31 \text{ kN/m}$

$C_{h,g,k} = 613.31 \text{ kN/m}$

$C_{h,q,k} = 0.00 \text{ kN/m}$

$C_{h,w,k} = 0.00 \text{ kN/m}$

Bodenkennwerte

Schicht	UK	$\gamma_k$	$\gamma'_k$	$\phi_k$	$c(akt),k$	$c(pas),k$	$d(a)/\phi$	$d(p)/\phi$	qc	cu,k
[ - ]	[ m ]	[ kN/m³ ]	[ kN/m³ ]	[ ° ]	[ kN/m² ]	[ kN/m² ]	[ - ]	[ - ]	[ MN/m² ]	[ kN/m² ]
1	2.50	20.00	11.50	32.50	0.00	0.00	0.667	-	10.00	0.00
2	10.00	20.00	11.50	32.50	0.00	0.00	0.667	-0.667	10.00	0.00

3	16.00	20.00	10.50	27.50	0.00	0.00	0.667	-0.667	10.00	0.00
4	20.29	21.00	11.00	30.00	0.00	0.00	0.667	-0.667	10.00	0.00

#### Aktive Erddruckbeiwerte

Ersatzerddruck-Beiwert mit  $\phi = 40^\circ$

Ersatzerddruck-Beiwert kah wird angewendet, wenn Kohäsion <> 0.0.

Ersatzerddruck-Beiwert kah wird nur auf ständige Lasten angewendet.

bestimmt nach: DIN 4085

(Erddruckbeiwerte für horizontales Gelände)

Schicht	UK	$k_{agh}$	$k_{ach}$	$\phi_k$	$\delta$	$\theta$	$kagh(40^\circ)$
[ $]$	[m]	[ $]$	[ $]$	[ $]$	[ $^\circ$ ]	[ $^\circ$ ]	[ $]$
1	2.50	0.251	0.866	32.500	21.68	57.46	0.179
2	10.00	0.251	0.866	32.500	21.68	57.46	0.179
3	16.00	0.311	0.980	27.500	18.34	54.50	0.179
4	20.29	0.279	0.921	30.000	20.01	55.98	0.179

#### Aktive Erddruckordinaten ( $[g+q],k$ )

von	bis	oben	unten	Wasserdruck	Wasserdruck
[m]	[m]	[kN/m <sup>2</sup> ]	[kN/m <sup>2</sup> ]	oben[kN/m <sup>2</sup> ]	unten[kN/m <sup>2</sup> ]
0.000	0.492	0.000	2.465	0.00	0.00
0.492	1.044	2.465	10.495	0.00	0.00
1.044	2.048	10.495	25.095	0.00	0.00
2.048	2.500	25.095	31.665	0.00	0.00
2.500	3.043	31.666	39.559	0.00	0.00
3.043	3.438	39.559	45.300	0.00	0.00
3.438	4.040	45.300	48.319	0.00	0.00
4.040	5.044	48.319	53.350	0.00	0.00
5.044	6.048	53.350	58.382	0.00	0.00
6.048	6.700	58.382	61.652	0.00	0.00
6.700	7.047	0.000	0.000	0.00	0.00
7.047	7.296	0.000	0.000	0.00	0.00
7.296	7.494	0.000	0.000	0.00	0.00
7.494	8.046	0.000	0.000	0.00	0.00
8.046	9.048	0.000	0.000	0.00	0.00
9.048	9.850	0.000	0.000	0.00	0.00
9.850	10.000	0.000	0.000	0.00	0.00
10.000	10.050	0.000	0.000	0.00	0.00
10.050	10.200	0.000	0.000	0.00	0.00
10.200	11.005	0.000	0.000	0.00	0.00
11.005	12.010	0.000	0.000	0.00	0.00
12.010	13.016	0.000	0.000	0.00	0.00
13.016	13.469	0.000	0.000	0.00	0.00
13.469	13.717	0.000	0.000	0.00	0.00
13.717	16.000	0.000	0.000	0.00	0.00
16.000	20.290	0.000	0.000	0.00	0.00

#### Passive Erddruckbeiwerte

bestimmt nach: DIN 4085:2011

Schicht	UK	$k_{pgh}$	$k_{pch}$	$\phi_k$	$\delta$	$\theta$
[ $]$	[m]	[ $]$	[ $]$	[ $^\circ$ ]	[ $^\circ$ ]	[ $^\circ$ ]
2	10.00	6.006	6.054	32.500	-21.68	16.35
3	16.00	4.204	4.818	27.500	-18.34	19.83
4	20.29	5.005	5.388	30.000	-20.01	18.10

#### Passive Erddruckordinaten (Bemessungswerte)

Teilsicherheit Erdwiderstand = 1.30

Anpassungsfaktor Erdwiderstand = 0.80

von	bis	oben	unten
[m]	[m]	[kN/m <sup>2</sup> ]	[kN/m <sup>2</sup> ]
6.05	6.70	0.00	0.00
6.70	7.05	0.00	-13.98
7.05	7.30	-13.98	-31.38
7.30	7.49	-31.38	-47.23
7.49	8.05	-47.23	-80.02
8.05	9.05	-80.02	-139.62
9.05	9.85	-139.62	-187.31
9.85	10.00	-187.31	-196.25
10.00	10.05	-144.30	-146.48
10.05	10.20	-146.48	-153.04
10.20	11.00	-153.04	-171.51
11.00	12.01	-171.51	-194.60
12.01	13.02	-194.60	-217.69

13.02	13.47	-217.69	-228.08
13.47	13.72	-228.08	-233.78
13.72	16.00	-233.78	-286.19
16.00	20.29	-332.52	-452.39

Schnittgrößen (Bemessungswerte)

Tiefe [m]	N [kN/m]	Q [kN/m]	M [kN·m/m]
0.00	0.0	0.0	0.0
0.49	-6.2	-0.7	-0.1
1.04	-14.5	-5.0	-1.5
2.05	-35.0	-26.5	-15.8
2.50	-46.5	-41.9	-31.1
3.04	-62.2	-65.1	-59.9
3.44	-74.9	-85.2	-89.4
4.04	-95.5	-119.0	-150.8
5.04	-131.8	-180.2	-300.5
6.05	-170.5	-247.5	-514.6
6.70	-197.0	-294.5	-691.3
7.05	-200.3	-292.5	-793.5
7.30	-201.1	-287.0	-865.5
7.49	-200.4	-279.2	-921.7
8.05	-193.0	-244.1	-1066.8
9.05	-161.2	-134.0	-1261.3
9.85	-118.6	-2.9	-1318.7
10.00	-109.0	25.9	-1317.0
10.05	-107.2	33.2	-1315.5
10.20	-101.5	55.7	-1308.9
11.00	-67.8	186.3	-1212.5
12.01	-18.8	370.4	-934.5
13.02	38.0	577.8	-459.6
13.47	66.1	678.7	-175.5
13.72	82.1	736.0	0.0

Schnittgrößen (g,d)

Tiefe [m]	N [kN/m]	Q [kN/m]	M [kN·m/m]
0.00	0.0	0.0	0.0
0.49	-6.2	-0.7	-0.1
1.04	-14.5	-5.0	-1.5
2.05	-35.0	-26.5	-15.8
2.50	-46.5	-41.9	-31.1
3.04	-62.2	-65.1	-59.9
3.44	-74.9	-85.2	-89.4
4.04	-95.5	-119.0	-150.8
5.04	-131.8	-180.2	-300.5
6.05	-170.5	-247.5	-514.6
6.70	-197.0	-294.5	-691.3
7.05	-200.3	-292.5	-793.5
7.30	-201.1	-287.0	-865.5
7.49	-200.4	-279.2	-921.7
8.05	-193.0	-244.1	-1066.8
9.05	-161.2	-134.0	-1261.3
9.85	-118.6	-2.9	-1318.7
10.00	-109.0	25.9	-1317.0
10.05	-107.2	33.2	-1315.5
10.20	-101.5	55.7	-1308.9
11.00	-67.8	186.3	-1212.5
12.01	-18.8	370.4	-934.5
13.02	38.0	577.8	-459.6
13.47	66.1	678.7	-175.5
13.72	82.1	736.0	0.0

Schnittgrößen ([g+q],k)

Tiefe [m]	N [kN/m]	Q [kN/m]	M [kN·m/m]
0.00	0.0	0.0	0.0
0.49	-5.1	-0.6	-0.1
1.04	-12.0	-4.2	-1.2
2.05	-29.1	-22.1	-13.2
2.50	-38.7	-34.9	-25.9
3.04	-51.8	-54.2	-49.9

3.44	-62.4	-71.0	-74.5
4.04	-79.6	-99.2	-125.7
5.04	-109.8	-150.2	-250.4
6.05	-142.1	-206.3	-428.9
6.70	-164.2	-245.4	-576.1
7.05	-167.0	-243.8	-661.2
7.30	-167.6	-239.2	-721.2
7.49	-167.0	-232.6	-768.1
8.05	-160.8	-203.4	-889.0
9.05	-134.3	-111.7	-1051.0
9.85	-98.9	-2.4	-1098.9
10.00	-90.8	21.6	-1097.5
10.05	-89.3	27.7	-1096.3
10.20	-84.6	46.4	-1090.7
11.00	-56.5	155.2	-1010.4
12.01	-15.6	308.7	-778.8
13.02	31.7	481.5	-383.0
13.47	55.0	565.5	-146.2
13.72	68.4	613.3	0.0

#### Schnittgrößen (g,k)

Tiefe [m]	N [kN/m]	Q [kN/m]	M [kN·m/m]
0.00	0.0	0.0	0.0
0.49	-5.1	-0.6	-0.1
1.04	-12.0	-4.2	-1.2
2.05	-29.1	-22.1	-13.2
2.50	-38.7	-34.9	-25.9
3.04	-51.8	-54.2	-49.9
3.44	-62.4	-71.0	-74.5
4.04	-79.6	-99.2	-125.7
5.04	-109.8	-150.2	-250.4
6.05	-142.1	-206.3	-428.9
6.70	-164.2	-245.4	-576.1
7.05	-167.0	-243.8	-661.2
7.30	-167.6	-239.2	-721.2
7.49	-167.0	-232.6	-768.1
8.05	-160.8	-203.4	-889.0
9.05	-134.3	-111.7	-1051.0
9.85	-98.9	-2.4	-1098.9
10.00	-90.8	21.6	-1097.5
10.05	-89.3	27.7	-1096.3
10.20	-84.6	46.4	-1090.7
11.00	-56.5	155.2	-1010.4
12.01	-15.6	308.7	-778.8
13.02	31.7	481.5	-383.0
13.47	55.0	565.5	-146.2
13.72	68.4	613.3	0.0

#### Schnittgrößen (q,k)

Tiefe [m]	N [kN/m]	Q [kN/m]	M [kN·m/m]
0.00	0.0	0.0	0.0
0.49	0.0	0.0	0.0
1.04	0.0	0.0	0.0
2.05	0.0	0.0	0.0
2.50	0.0	0.0	0.0
3.04	0.0	0.0	0.0
3.44	0.0	0.0	0.0
4.04	0.0	0.0	0.0
5.04	0.0	0.0	0.0
6.05	0.0	0.0	0.0
6.70	0.0	0.0	0.0
7.05	0.0	0.0	0.0
7.30	0.0	0.0	0.0
7.49	0.0	0.0	0.0
8.05	0.0	0.0	0.0
9.05	0.0	0.0	0.0
9.85	0.0	0.0	0.0
10.00	0.0	0.0	0.0
10.05	0.0	0.0	0.0
10.20	0.0	0.0	0.0

11.00	0.0	0.0	0.0
12.01	0.0	0.0	0.0
13.02	0.0	0.0	0.0
13.47	0.0	0.0	0.0
13.72	0.0	0.0	0.0

#### Schnittgrößen (w,k)

Tiefe [m]	N [kN/m]	Q [kN/m]	M [kN·m/m]
0.00	0.0	0.0	0.0
0.49	0.0	0.0	0.0
1.04	0.0	0.0	0.0
2.05	0.0	0.0	0.0
2.50	0.0	0.0	0.0
3.04	0.0	0.0	0.0
3.44	0.0	0.0	0.0
4.04	0.0	0.0	0.0
5.04	0.0	0.0	0.0
6.05	0.0	0.0	0.0
6.70	0.0	0.0	0.0
7.05	0.0	0.0	0.0
7.30	0.0	0.0	0.0
7.49	0.0	0.0	0.0
8.05	0.0	0.0	0.0
9.05	0.0	0.0	0.0
9.85	0.0	0.0	0.0
10.00	0.0	0.0	0.0
10.05	0.0	0.0	0.0
10.20	0.0	0.0	0.0
11.00	0.0	0.0	0.0
12.01	0.0	0.0	0.0
13.02	0.0	0.0	0.0
13.47	0.0	0.0	0.0
13.72	0.0	0.0	0.0

#### Weggrößen ([g+q],k)

berechnet mit EI = 6.039E+5 kN·m<sup>2</sup>/m

Tiefe [m]	w [mm]
0.00	-102.4
0.49	-96.9
1.04	-90.8
2.05	-79.7
2.50	-74.7
3.04	-68.7
3.44	-64.3
4.04	-57.8
5.04	-47.0
6.05	-36.6
6.70	-30.2
7.05	-27.0
7.30	-24.8
7.49	-23.0
8.05	-18.5
9.05	-11.4
9.85	-7.0
10.00	-6.3
10.05	-6.1
10.20	-5.4
11.00	-2.7
12.01	-0.7
13.02	-0.1
13.47	0.0
13.72	0.0

#### Verdrehung (Theoretischer Fußpunkt) [°]

phi,[g+q],k: 0.00000000

Theoretischer Fußpunkt = 13.717 m

Nachweis Aufgelöste Bohrpahlwand  
E = 3000.00 kN/cm<sup>2</sup>

$I = 3220623.34 \text{ cm}^4/\text{m}$   
 Bewehrung EC 2 / DIN 1045-1  
 Beton C 30/37  
 Stahl BSt 500/550  
 $M(d) = 2109.9 \text{ kN} \cdot \text{m}$   
 $N(d) = -189.8 \text{ kN}$   
 $\epsilon_{s(c2)} [\text{o}/\text{oo}] = -3.50$   
 $\epsilon_{s(1)} [\text{o}/\text{oo}] = 6.46$   
 $A_s [\text{cm}^2] = 160.3$  (Mindestbew. =  $25.0 \text{ cm}^2$ )  
 Pfahldurchmesser = 0.900 m  
 $d_1 = 0.0750 \text{ m}$   
 $\sigma_1(l) = 29.18 / \sigma_2(l) = -29.78 \text{ MN/m}^2$

Schubbewehrung:  
 $Q(d) = V_{sd} = 588.8 \text{ kN}$  ( $b_w = 0.769 \text{ m}$   $z = 0.548 \text{ m}$ )  
 $M(d) = 58.0 \text{ kN} \cdot \text{m}$ ;  $N(d) = 126.2 \text{ kN}$   
 $\tau_{Rd,max} = 4.30 \text{ N/mm}^2$  ( $\tau_{sd} / \tau_{Rd,max} = 0.3252$ )  
 $A_s(\text{Schub}) = 9.6 \text{ cm}^2/\text{m}$  (Mindestbew. =  $8.4 \text{ cm}^2/\text{m}$ )

Nachweis der Beton-Ausfachung:  
 $\max e_{ah,d} = 74.0 \text{ kN/m}^2$   
 Ausfachungsdicke = 0.412 m  
 Dicke Druckgewölbe = 0.206 m  
 $f_{cd} = 9444.4 \text{ kN/m}^2$   
 $\sigma(d) = 557.88 \text{ kN/m}^2$   
 Nachweis OK

$\max M_d = 1318.7 \text{ kN} \cdot \text{m}/\text{m}$  (Tiefe = 9.85 m)  
 Zugehörige Werte:  $N_d = -118.6 \text{ kN/m}$ ;  $Q_d = -2.9 \text{ kN/m}$ ;  $w_k = 7.0 \text{ mm}$

$\max Q_d = 736.0 \text{ kN} \cdot \text{m}/\text{m}$  (Tiefe = 13.72 m)  
 Zugehörige Werte:  $N_d = 82.1 \text{ kN/m}$ ;  $M_d = 0.0 \text{ kN} \cdot \text{m}/\text{m}$ ;  $w_k = 0.0 \text{ mm}$

$\max N_d = 201.1 \text{ kN/m}$  (Tiefe = 7.30 m)  
 Zugehörige Werte:  $Q_d = -287.0 \text{ kN/m}$ ;  $M_d = -865.5 \text{ kN} \cdot \text{m}/\text{m}$ ;  $w_k = 29.7 \text{ mm}$

$\max w_k = 102.4 \text{ mm}$  (Tiefe = 0.00 m)  
 Zugehörige Werte:  $N_d = 0.0 \text{ kN/m}$ ;  $Q_d = 0.0 \text{ kN/m}$ ;  $M_d = 0.0 \text{ kN} \cdot \text{m}/\text{m}$

Vergrößerung der Einbindetiefe um 20.00 %  
 Einbindetiefe  $t_g = 8.42 \text{ m}$   
 Profillänge = 15.12 m

Nachweis Summe H  
 $E_{ph,d} = 1831.67 \text{ kN/m}$   
 $(E_{ph,d} \text{ mit Wandreibungswinkel} = -\varphi \text{ ermittelt})$   
 $(E_{ph,d} \text{ berechnet mit Anpassungsfaktor von: } 1.000)$   
 $E_{ah,d} = 769.61 \text{ kN/m}$   
 $B_{h,d}' = B_{h,d} - 0.5 \cdot C_{h,d}$   
 $B_{h,d} = 1030.36 \text{ kN/m}$ ;  $C_{h,d} = 735.97 \text{ kN/m}$   
 $B_{h,d}' = 662.37 \text{ kN/m}$   
 $(B_{h,d} \text{ über rechnerisches Auflager})$   
 $E_{ah,d} + B_{h,d}' \leq E_{ph,d}$  (Nachweis OK)  
 $\mu = (E_{ah,d} + B_{h,d}') / E_{ph,d}$   
 $\mu = (769.61 + 662.37) / 1831.67$   
 $\mu = 1431.98 / 1831.67 = 0.78$

Nachweis Summe V  
 Das Vorzeichen ist positiv, wenn Kraftgröße nach unten gerichtet ist.  
 Bei Trägerbohlwänden berechnet sich  $E_{pv}$  ( $B_v$ ) aus dem Reibungs- und dem Kohäsionsanteil unterschiedlich. Der Reibungsanteil wird dabei nur vor dem Bohlträger angesetzt. Für  $C_h$  und  $C_v$  erfolgt eine analoge Annahme.

Nachweis des mobilisierten Erdwiderstands  
 Bedingung:  $G_k + P_{v,k} + E_{av,k} + 0.5 \cdot C_{h,k} \cdot \tan(\delta_c) \geq (B_{h,k} - 0.5 \cdot C_{h,k}) \cdot \tan(\delta_p)$   
 $G_k = 240.48 \text{ kN}$   
 $P_{v,k} = 0.00 \text{ kN}$   
 $E_{av,k} = 154.12 \text{ kN}$  ( $E_{ah,k} = 387.73 \text{ kN}$ )  
 $C_{h,k} = 551.98 \text{ kN}$   
 $B_{v,k} = -272.08 \text{ kN}$   
 $\delta_p [^\circ] = -18.3$   
 $\delta_c [^\circ] = 9.2$

Summe  $V_k = 258.51$  kN (Druck)

Nachweis der vertikalen Tragfähigkeit  
(Erfahrungswerte nach EA Pfähle)

Verfahren 1: EAU Bild E 4-3 (links)

Aufgelöste Wand D = 90.00 cm

$$R_{Bv,d} = (B_{h,k} - 1/2 \cdot C_{h,k}) \cdot \tan(\delta_p) / \gamma_{Ep}$$

$$R_{Bv,d} = (772.85 - 1/2 \cdot 551.98) \cdot \tan(18.3^\circ) / 1.30 = 126.72 \text{ kN}$$

$$R_{Cv,d} = 1/2 \cdot C_{h,k} \cdot \tan(\delta_c) / \gamma_{Ep}$$

$$R_{Cv,d} = 1/2 \cdot 551.98 \cdot \tan(18.3^\circ) / 1.30 = 70.39 \text{ kN}$$

Verhältniswert (min, max) = 0.00

Spitzendruck  $q_{c,m} = 10.00 \text{ MN/m}^2$

(gemittelt von 14.22 bis 17.82 m) ==>  $q_{b,k} = 2.07 \text{ MN/m}^2$

$$R_{b,d} = A \cdot q_{b,k} / \gamma_{qb,k} = 0.6362 \cdot 2.07 \cdot 1000 / 1.40 = 939.11 \text{ kN}$$

Mantelreibung

von	bis	$q_{s,k} [\text{kN/m}^2]$	Bezeichnung
6.70	10.00	71.67	3b
10.00	15.12	71.67	3c

Mantelfläche bis 15.12 m = 1.414 m<sup>2</sup>/m ==>  $R_{s1,d}$

$$R_{s1,d} = \eta(s) \cdot R_{s1,k} / \gamma_{qs,k} = 1.000 \cdot 853.13 / 1.40 = 609.38 \text{ kN}$$

$$R_d = R_{Bv,d} + R_{Cv,d} + R_{b,d} + R_{s1,d} = 1745.59 \text{ kN}$$

Einwirkungen

$$V_d = G_d + E_{av,d} + P_{v,d} = 288.58 + 184.94 + 0.00 = 473.52 \text{ kN}$$

$$==> \mu = V_d / R_d = 473.52 / 1745.59 = 0.27$$

Horizontaler Wasserdruck herkömmlich bestimmt.

Nachweis Aufbruchssicherheit nach EB 99

Verkehrslasten vereinfacht nach EAB EB 104 berücksichtigt

Faktor Verkehrslasten fQ = 1.300 / 1.200 = 1.083

Teilsicherheit (Grundbruch)  $\gamma_{Gr} = 1.300$

Breite = 1.78 m

Gewicht G<sub>k</sub> (einschließlich Verkehr) = 553.46 [kN/m]

(Verkehr erhöht mit Faktor = 1.083)

E<sub>av,k</sub> ( $\delta = 2/3 \cdot \varphi$ ) = 396.05 [kN/m]

Kohäsionskraft K<sub>k</sub> = 0.00 [kN/m]

Grundbruchlast P<sub>g,k</sub> = 9222.11 [kN/m]

Grundbruch mit:

Reibungswinkel  $\varphi_k = 30.21 [^\circ]$

Kohäsion c<sub>k</sub> = 0.00 [kN/m<sup>2</sup>]

N<sub>d</sub> = 18.847 / N<sub>b</sub> = 10.392 / N<sub>c</sub> = 30.651

$\sigma_u = 254.869 \text{ [kN/m}^2\text{]}$

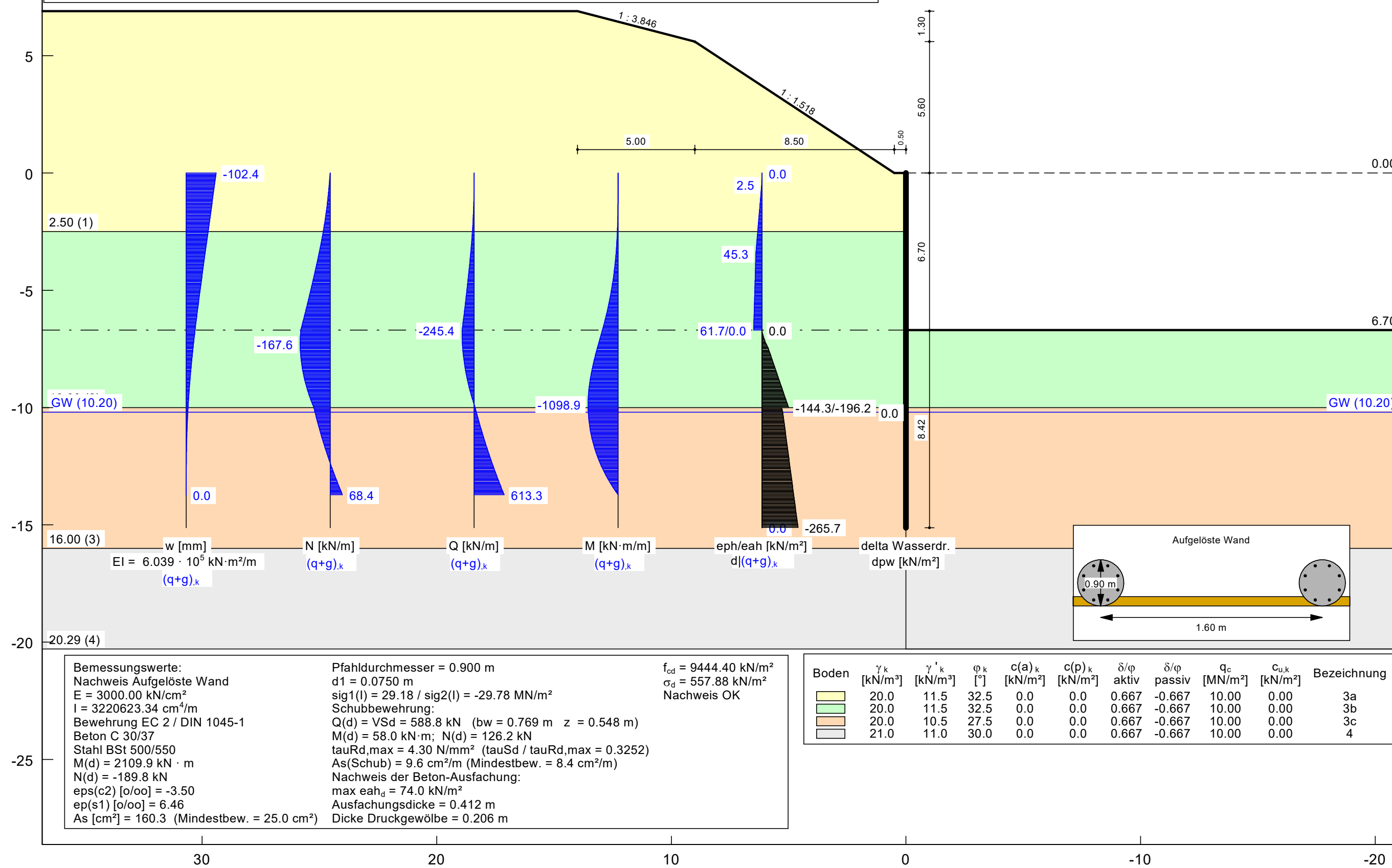
$$\mu_{ue} = [G_k \cdot \gamma_G] / [(P_{g,k} + K_k + E_{av,k}) / \gamma_{Gr}] = 0.090$$

$$\mu_{ue} = [553.46 \cdot 1.20] / [(9222.11 + 0.00) / 1.300 + 396.05] = 0.090$$

2018156\_Wangen  
 Norm: EC 7  
 Aufgelöste Wand  
 Aktiver Erddruck nach: DIN 4085  
 Ersatzerddruck-Beiwert mit  $\varphi = 40^\circ$   
 Pass. Erddruck nach: DIN 4085:2011  
 Räumliche Wirkung passiver Erddruck  
 nach: Weißenbach  
 Pfahldurchmesser = 0.900 m

Pfahlabstand = 1.60 m  
 Erf. Profilänge = 15.12 m  
 Erf. Einbindetiefe = 8.42 m  
 BS: DIN 1054: BS-T  
 $\gamma_G = 1.20$   
 $\gamma_Q = 1.30$   
 $\gamma_{Ep} = 1.30$   
 Anpassungsfaktor  $E_p = 0.80$   
 mob. Ep erfüllt /  $\mu = 0.41$

$\mu(\text{Vert. Tragfähigkeit}) = 0.27$   
 Datei: überschnittene\_Bohrpfahlwand\_380\_Bauzustand ohne Anker.vrb



Aufgelöste Bohrpfahlwand  
=====

Teilsicherheitskonzept (EC 7)

2018156\_Wangen

Datei: überschnittene\_Bohrpfahlwand\_380\_Bauzustand mit Anker.vrb

Indices:

d = Bemessungswert

k = charakteristisch

g = Ständig, einschließlich Wasserdruk

q = Veränderlich

g+q = Ständig + Veränderlich, einschließlich Wasserdruk

w = Wasserdruk

Alle Höhenangaben beziehen sich auf den Wandkopf.

Maximale Teilung bis Baugrubensohle: 0.050 m

Maximale Teilung unter Baugrubensohle: 0.050 m

Baugrubensohle = 7.20 m

Räumliche Wirkung passiver Erddruck

nach: Weißenbach

Bohlträgerbreite = 0.900 m

Bohlträgerabstand = 1.60 m

Grundwasserstand (Erdseite) = 10.20 m

Grundwasserstand (Luftseite) = 10.20 m

Wasserdruk auf "0.0" gesetzt, wenn zur Erdseite gerichtet.

Teilsicherheiten

BS: DIN 1054: BS-T

$\gamma_G = 1.20$

$\gamma_Q = 1.30$

$\gamma_{Ep} = 1.30$

Anpassungsfaktor Erdwiderstand = 0.80

Bermen auf der Aktivseite

Nr.	x1 [-]	x2 [m]	dh [m]	a [m]	x [m]	y [m]	Auflast [kN/m <sup>2</sup> ]	Verkehr [-]
1	0.50	9.00	5.60	0.32	0.17	2.95	0.00	nein
2	9.00	14.00	1.30	2.34	10.75	5.97	0.00	nein

Der Einfluss von Aktivbermen auf den aktiven Erddruck wird gemäß den Beziehungen in "Spundwand-Handbuch Berechnung (1977) Abschnitt 4.9.2.2" berechnet.

Art des Fußlagers:

Profillänge automatisch und Einspanngrad von 0.640 vorgegeben

Nachweis Fußauflager erbracht mit folgenden Kräften:

$Eph,d = 288.77 \text{ kN/m}$  ( $Epv,d = -110.89 \text{ kN/m}$ )

Ausnutzungsgrad (Erdwiderstand) =  $Bh,d / Eph,d = 1.000$

$Bh(g+q),d = 288.77 \text{ kN/m}$

$Bh,g,d = 288.77 \text{ kN/m}$

$Bh,q,d = 0.00 \text{ kN/m}$

$Bh,w,d = 0.00 \text{ kN/m}$

Ersatzkräfte  $C_h$  (Blum)

$C_{h,k} = 115.22 \text{ kN/m}$

$C_{h,g,k} = 115.22 \text{ kN/m}$

$C_{h,q,k} = 0.00 \text{ kN/m}$

$C_{h,w,k} = 0.00 \text{ kN/m}$

Anker und Steifen

Nr.	y [m]	Neigung [°]	Länge [m]	$N_d$ [kN/m]	$N_k$ [kN/m]	$N_{g,k}$ [kN/m]	$N_{w,k}$ [kN/m]	EA [kN]	EI [kN·m <sup>2</sup> ]	
1	2.00	15.00	12.50	197.51	164.59	164.59	0.00	2.100E+7	-	Anker

### Bodenkennwerte

Schicht	UK	$\gamma_k$	$\gamma'_k$	$\varphi_k$	c(akt),k	c(pas),k	d(a)/ $\varphi$	d(p)/ $\varphi$	qc	cu,k
[ - ]	[m]	[kN/m³]	[kN/m³]	[°]	[kN/m²]	[kN/m²]	[ - ]	[ - ]	[MN/m²]	[kN/m²]
1	2.50	20.00	11.50	32.50	0.00	0.00	0.667	-	10.00	0.00
2	10.00	20.00	11.50	32.50	0.00	0.00	0.667	-0.667	10.00	0.00
3	16.00	20.00	10.50	27.50	0.00	0.00	0.667	-0.667	10.00	0.00
4	20.29	21.00	11.00	30.00	0.00	0.00	0.667	-0.667	10.00	0.00

### Aktive Erddruckbeiwerte

Ersatzerddruck-Beiwert mit  $\varphi = 40^\circ$

Ersatzerddruck-Beiwert kah wird angewendet, wenn Kohäsion  $> 0.0$ .

Ersatzerddruck-Beiwert kah wird nur auf ständige Lasten angewendet.

bestimmt nach: DIN 4085

### (Erddruckbeiwerte für horizontales Gelände)

Schicht	UK	$k_{agh}$	$k_{ach}$	$\varphi_k$	$\delta$	$\theta$	$kagh(40^\circ)$
[ - ]	[m]	[ - ]	[ - ]	[°]	[°]	[°]	[ - ]
1	2.50	0.251	0.866	32.500	21.68	57.46	0.179
2	10.00	0.251	0.866	32.500	21.68	57.46	0.179
3	16.00	0.311	0.980	27.500	18.34	54.50	0.179
4	20.29	0.279	0.921	30.000	20.01	55.98	0.179

### Aktive Erddruckordinaten ([g+q],k)

von	bis	oben	unten	Wasserdruck	Wasserdruck
[m]	[m]	[kN/m²]	[kN/m²]	oben[kN/m²]	unten[kN/m²]
0.000	0.492	0.000	2.465	0.00	0.00
0.492	1.045	2.465	10.506	0.00	0.00
1.045	2.000	10.506	24.395	0.00	0.00
2.000	2.050	24.396	25.123	0.00	0.00
2.050	2.500	25.123	31.665	0.00	0.00
2.500	3.043	31.666	39.559	0.00	0.00
3.043	3.438	39.559	45.300	0.00	0.00
3.438	4.040	45.300	48.317	0.00	0.00
4.040	5.043	48.317	53.346	0.00	0.00
5.043	5.193	53.346	54.100	0.00	0.00
5.193	6.046	54.100	58.375	0.00	0.00
6.046	7.050	58.375	63.404	0.00	0.00
7.050	7.200	63.404	64.158	0.00	0.00
7.200	7.494	0.000	0.000	0.00	0.00
7.494	7.795	0.000	0.000	0.00	0.00
7.795	8.046	0.000	0.000	0.00	0.00
8.046	9.048	0.000	0.000	0.00	0.00
9.048	10.000	0.000	0.000	0.00	0.00
10.000	10.050	0.000	0.000	0.00	0.00
10.050	10.200	0.000	0.000	0.00	0.00
10.200	10.451	0.000	0.000	0.00	0.00
10.451	13.469	0.000	0.000	0.00	0.00
13.469	16.000	0.000	0.000	0.00	0.00
16.000	20.290	0.000	0.000	0.00	0.00

### Passive Erddruckbeiwerte

bestimmt nach: DIN 4085:2011

Schicht	UK	$k_{pgh}$	$k_{pch}$	$\varphi_k$	$\delta$	$\theta$
[ - ]	[m]	[ - ]	[ - ]	[°]	[°]	[°]
2	10.00	6.006	6.054	32.500	-21.68	16.35
3	16.00	4.204	4.818	27.500	-18.34	19.83
4	20.29	5.005	5.388	30.000	-20.01	18.10

### Passive Erddruckordinaten (Bemessungswerte)

Teilsicherheit Erdwiderstand = 1.30

Anpassungsfaktor Erdwiderstand = 0.80

von	bis	oben	unten
[m]	[m]	[kN/m²]	[kN/m²]
7.05	7.20	0.00	0.00
7.20	7.49	0.00	-10.90
7.49	7.79	-10.90	-31.32
7.79	8.05	-31.32	-50.28
8.05	9.05	-50.28	-109.89
9.05	10.00	-109.89	-166.51
10.00	10.05	-122.43	-124.62
10.05	10.20	-124.62	-131.18
10.20	10.45	-131.18	-136.95
10.45	13.47	-136.95	-206.22

13.47	16.00	-206.22	-264.33
16.00	20.29	-307.11	-426.99

Schnittgrößen (Bemessungswerte)

Tiefe [m]	N [kN/m]	Q [kN/m]	M [kN·m/m]	A(h) [kN/m]
0.00	0.0	0.0	0.0	
0.49	-6.2	-0.7	-0.1	
1.04	-14.5	-5.0	-1.5	
2.00	-33.8	-25.0	-14.6	190.8
2.00	-84.9	165.7	-14.6	
2.05	-86.1	164.3	-6.3	
2.50	-97.6	148.9	64.3	
3.04	-113.3	125.7	139.1	
3.44	-126.0	105.6	184.8	
4.04	-146.6	71.8	238.4	
5.04	-182.9	10.6	280.2	
5.19	-188.5	0.9	281.1	
6.05	-221.6	-56.6	257.6	
7.05	-262.7	-129.9	164.6	
7.20	-269.1	-141.5	144.1	
7.49	-272.1	-140.2	102.6	
7.79	-273.3	-134.2	61.2	
8.05	-272.3	-124.2	28.7	
9.05	-253.3	-46.4	-61.6	
10.00	-214.0	81.0	-49.3	
10.05	-212.6	87.0	-45.1	
10.20	-208.3	105.6	-30.6	
10.45	-200.4	138.3	0.0	

Schnittgrößen (g,d)

Tiefe [m]	N [kN/m]	Q [kN/m]	M [kN·m/m]	A(h) [kN/m]
0.00	0.0	0.0	0.0	
0.49	-6.2	-0.7	-0.1	
1.04	-14.5	-5.0	-1.5	
2.00	-33.8	-25.0	-14.6	190.8
2.00	-84.9	165.7	-14.6	
2.05	-86.1	164.3	-6.3	
2.50	-97.6	148.9	64.3	
3.04	-113.3	125.7	139.1	
3.44	-126.0	105.6	184.8	
4.04	-146.6	71.8	238.4	
5.04	-182.9	10.6	280.2	
5.19	-188.5	0.9	281.1	
6.05	-221.6	-56.6	257.6	
7.05	-262.7	-129.9	164.6	
7.20	-269.1	-141.5	144.1	
7.49	-272.1	-140.2	102.6	
7.79	-273.3	-134.2	61.2	
8.05	-272.3	-124.2	28.7	
9.05	-253.3	-46.4	-61.6	
10.00	-214.0	81.0	-49.3	
10.05	-212.6	87.0	-45.1	
10.20	-208.3	105.6	-30.6	
10.45	-200.4	138.3	0.0	

Schnittgrößen ([g+q],k)

Tiefe [m]	N [kN/m]	Q [kN/m]	M [kN·m/m]	A(h) [kN/m]
0.00	0.0	0.0	0.0	
0.49	-5.1	-0.6	-0.1	
1.04	-12.1	-4.2	-1.2	
2.00	-28.2	-20.9	-12.1	159.0
2.00	-70.8	138.1	-12.1	
2.05	-71.8	136.9	-5.3	
2.50	-81.3	124.1	53.6	
3.04	-94.4	104.8	115.9	
3.44	-105.0	88.0	154.0	
4.04	-122.2	59.8	198.6	
5.04	-152.4	8.8	233.5	
5.19	-157.1	0.8	234.2	

6.05	-184.7	-47.2	214.7
7.05	-218.9	-108.3	137.1
7.20	-224.2	-117.9	120.1
7.49	-226.7	-116.8	85.5
7.79	-227.7	-111.9	51.0
8.05	-226.9	-103.5	23.9
9.05	-211.1	-38.7	-51.3
10.00	-178.4	67.5	-41.1
10.05	-177.2	72.5	-37.6
10.20	-173.6	88.0	-25.5
10.45	-167.0	115.2	0.0

#### Schnittgrößen (g,k)

Tiefe [m]	N [kN/m]	Q [kN/m]	M [kN·m/m]	A(h) [kN/m]
0.00	0.0	0.0	0.0	
0.49	-5.1	-0.6	-0.1	
1.04	-12.1	-4.2	-1.2	
2.00	-28.2	-20.9	-12.1	159.0
2.00	-70.8	138.1	-12.1	
2.05	-71.8	136.9	-5.3	
2.50	-81.3	124.1	53.6	
3.04	-94.4	104.8	115.9	
3.44	-105.0	88.0	154.0	
4.04	-122.2	59.8	198.6	
5.04	-152.4	8.8	233.5	
5.19	-157.1	0.8	234.2	
6.05	-184.7	-47.2	214.7	
7.05	-218.9	-108.3	137.1	
7.20	-224.2	-117.9	120.1	
7.49	-226.7	-116.8	85.5	
7.79	-227.7	-111.9	51.0	
8.05	-226.9	-103.5	23.9	
9.05	-211.1	-38.7	-51.3	
10.00	-178.4	67.5	-41.1	
10.05	-177.2	72.5	-37.6	
10.20	-173.6	88.0	-25.5	
10.45	-167.0	115.2	0.0	

#### Schnittgrößen (q,k)

Tiefe [m]	N [kN/m]	Q [kN/m]	M [kN·m/m]	A(h) [kN/m]
0.00	0.0	0.0	0.0	
0.49	0.0	0.0	0.0	
1.04	0.0	0.0	0.0	
2.00	0.0	0.0	0.0	0.0
2.05	0.0	0.0	0.0	
2.50	0.0	0.0	0.0	
3.04	0.0	0.0	0.0	
3.44	0.0	0.0	0.0	
4.04	0.0	0.0	0.0	
5.04	0.0	0.0	0.0	
5.19	0.0	0.0	0.0	
6.05	0.0	0.0	0.0	
7.05	0.0	0.0	0.0	
7.20	0.0	0.0	0.0	
7.49	0.0	0.0	0.0	
7.79	0.0	0.0	0.0	
8.05	0.0	0.0	0.0	
9.05	0.0	0.0	0.0	
10.00	0.0	0.0	0.0	
10.05	0.0	0.0	0.0	
10.20	0.0	0.0	0.0	
10.45	0.0	0.0	0.0	

#### Schnittgrößen (w,k)

Tiefe [m]	N [kN/m]	Q [kN/m]	M [kN·m/m]	A(h) [kN/m]
0.00	0.0	0.0	0.0	
0.49	0.0	0.0	0.0	
1.04	0.0	0.0	0.0	
2.00	0.0	0.0	0.0	0.0

2.05	0.0	0.0	0.0
2.50	0.0	0.0	0.0
3.04	0.0	0.0	0.0
3.44	0.0	0.0	0.0
4.04	0.0	0.0	0.0
5.04	0.0	0.0	0.0
5.19	0.0	0.0	0.0
6.05	0.0	0.0	0.0
7.05	0.0	0.0	0.0
7.20	0.0	0.0	0.0
7.49	0.0	0.0	0.0
7.79	0.0	0.0	0.0
8.05	0.0	0.0	0.0
9.05	0.0	0.0	0.0
10.00	0.0	0.0	0.0
10.05	0.0	0.0	0.0
10.20	0.0	0.0	0.0
10.45	0.0	0.0	0.0

Weggrößen ( $[g+q], k$ )  
berechnet mit  $EI = 6.039E+5 \text{ kN} \cdot \text{m}^2/\text{m}$

Tiefe [m]	w [mm]
0.00	1.7
0.49	1.3
1.04	0.8
2.00	-0.1
2.05	-0.2
2.50	-0.6
3.04	-1.1
3.44	-1.4
4.04	-1.8
5.04	-2.2
5.19	-2.2
6.05	-2.2
7.05	-1.9
7.20	-1.8
7.49	-1.6
7.79	-1.5
8.05	-1.3
9.05	-0.7
10.00	-0.2
10.05	-0.2
10.20	-0.1
10.45	0.0

Verdrehung (Theoretischer Fußpunkt) [ $^\circ$ ]  
 $\phi_{[g+q],k} = -0.02693331$   
Theoretischer Fußpunkt = 10.451 m

Nachweis Aufgelöste Bohrpahlwand  
 $E = 3000.00 \text{ kN/cm}^2$   
 $I = 3220623.34 \text{ cm}^4/\text{m}$   
 Bewehrung EC 2 / DIN 1045-1  
 Beton C 30/37  
 Stahl BSt 500/550  
 $M(d) = 449.7 \text{ kN} \cdot \text{m}$   
 $N(d) = -301.7 \text{ kN}$   
 $\epsilon_{ps(c2)} [\text{o/o}] = 0.00$   
 $\epsilon_{ps(s1)} [\text{o/o}] = 0.00$   
 $A_s [\text{cm}^2] = 25.0$  (Mindestbew. =  $25.0 \text{ cm}^2$ )  
 Pfahldurchmesser = 0.900 m  
 $d_1 = 0.0750 \text{ m}$   
 $\sigma_{sig1}(I) = 5.81 / \sigma_{sig2}(I) = -6.76 \text{ MN/m}^2$   
 Schubbewehrung:  
 $Q(d) = V_{sd} = 265.2 \text{ kN}$  ( $b_w = 0.769 \text{ m}$   $z = 0.548 \text{ m}$ )  
 $M(d) = 23.3 \text{ kN} \cdot \text{m}$ ;  $N(d) = -54.1 \text{ kN}$   
 $\tau_{uRd,max} = 3.83 \text{ N/mm}^2$  ( $\tau_{uSd} / \tau_{uRd,max} = 0.1645$ )  
 $A_s(\text{Schub}) = 8.4 \text{ cm}^2/\text{m}$  (Mindestbew.)

Nachweis der Beton-Ausfachung:

max eah,d = 77.0 kN/m<sup>2</sup>  
 Ausfachungsdicke = 0.412 m  
 Dicke Druckgewölbe = 0.206 m  
 f,cd = 9444.4 kN/m<sup>2</sup>  
 sigma(d) = 580.56 kN/m<sup>2</sup>  
 Nachweis OK

max M<sub>d</sub> = 281.1 kN·m/m (Tiefe = 5.19 m)  
 Zugehörige Werte: N<sub>d</sub> = -188.5 kN/m; Q<sub>d</sub> = 0.9 kN/m; w<sub>k</sub> = 2.2 mm

max Q<sub>d</sub> = 165.7 kN·m/m (Tiefe = 2.00 m)  
 Zugehörige Werte: N<sub>d</sub> = -84.9 kN/m; M<sub>d</sub> = -14.6 kN·m/m; w<sub>k</sub> = 0.2 mm

max N<sub>d</sub> = 273.3 kN/m (Tiefe = 7.79 m)  
 Zugehörige Werte: Q<sub>d</sub> = -134.2 kN/m; M<sub>d</sub> = 61.2 kN·m/m; w<sub>k</sub> = 1.8 mm

max w<sub>k</sub> = 2.2 mm (Tiefe = 5.59 m)  
 Zugehörige Werte: N<sub>d</sub> = -203.9 kN/m; Q<sub>d</sub> = -25.6 kN/m; M<sub>d</sub> = 276.2 kN·m/m

Vergrößerung der Einbindetiefe um 12.80 %  
 Einbindetiefe t<sub>g</sub> = 3.67 m  
 Profillänge = 10.87 m

Nachweis Summe H  
 Eph,d = 541.54 kN/m  
 (Eph,d mit Wandreibungswinkel = -φ ermittelt)  
 (Eph,d berechnet mit Anpassungsfaktor von: 1.000)  
 Eah,d = 298.46 kN/m  
 Bh,d' = Bh,d - 0.5 · C<sub>h,d</sub>  
 Bh,d = 288.77 kN/m ; C<sub>h,d</sub> = 138.26 kN/m  
 Bh,d' = 219.64 kN/m  
 (Bh,d über rechnerisches Auflager)  
 Eah,d + Bh,d' <= Eph,d (Nachweis OK)  
 μ = (Eah,d + Bh,d') / Eph,d  
 μ = (298.46 + 219.64) / 541.54  
 μ = 518.10 / 541.54 = 0.96

Nachweis Summe V  
 Das Vorzeichen ist positiv, wenn Kraftgröße nach unten gerichtet ist.  
 Bei Trägerbohlwänden berechnet sich Epv (Bv) aus dem Reibungs- und dem Kohäsionsanteil unterschiedlich. Der Reibungsanteil wird dabei nur vor dem Bohlträger angesetzt. Für Ch und Cv erfolgt eine analoge Annahme.  
 Nachweis des mobilisierten Erdwiderstands  
 Bedingung: G<sub>k</sub> + P<sub>v,k</sub> + E<sub>av,k</sub> + 0.5 · C<sub>h,k</sub> · tan(δ<sub>C</sub>) >= (B<sub>h,k</sub> - 0.5 · C<sub>h,k</sub>) · tan(δ<sub>P</sub>)  
 G<sub>k</sub> = 172.84 kN  
 P<sub>v,k</sub> = 68.16 kN  
 E<sub>av,k</sub> = 174.04 kN (E<sub>ah,k</sub> = 437.85 kN)  
 C<sub>h,k</sub> = 103.70 kN  
 B<sub>v,k</sub> = -80.56 kN  
 δ<sub>P</sub> [°] = -18.3  
 δ<sub>C</sub> [°] = 9.2  
 Summe V<sub>k</sub> = 360.03 kN (Druck)

Nachweis der vertikalen Tragfähigkeit  
 (Erfahrungswerte nach EA Pfähle)  
 Verfahren 1: EAU Bild E 4-3 (links)  
 Aufgelöste Wand D = 90.00 cm  
 R<sub>Bv,d</sub> = (B<sub>h,k</sub> - 1/2 · C<sub>h,k</sub>) · tan(δ<sub>P</sub>) / γ<sub>EP</sub>  
 R<sub>Bv,d</sub> = (209.79 - 1/2 · 103.70) · tan(18.3°) / 1.30 = 40.28 kN  
 R<sub>Cv,d</sub> = 1/2 · C<sub>h,k</sub> · tan(δ<sub>C</sub>) / γ<sub>EP</sub>  
 R<sub>Cv,d</sub> = 1/2 · 103.70 · tan(18.3°) / 1.30 = 13.22 kN

Verhältniswert (min, max) = 0.00  
 Spitzendruck q<sub>c,m</sub> = 10.00 MN/m<sup>2</sup>  
 (gemittelt von 9.97 bis 13.57 m) ==> q<sub>b,k</sub> = 2.07 MN/m<sup>2</sup>  
 R<sub>b,d</sub> = A · q<sub>b,k</sub> / γ<sub>qb,k</sub> = 0.6362 · 2.07 · 1000 / 1.40 = 939.11 kN

Mantelreibung  
 von                    bis                    q<sub>s,k</sub> [kN/m<sup>2</sup>]                    Bezeichnung  
 7.20                10.00                71.67                3b

$$10.00 \quad 10.87 \quad 71.67 \quad 3c$$

Mantelfläche bis 10.87 m = 1.414 m<sup>2</sup>/m ==>  $R_{s1,d}$

$$R_{s1,d} = \text{eta}(s) \cdot R_{s1,k} / \gamma_{qs,k} = 1.000 \cdot 371.59 / 1.40 = 265.42 \text{ kN}$$

$$R_d = R_{Bv,d} + R_{Cv,d} + R_{b,d} + R_{s1,d} = 1258.04 \text{ kN}$$

### Einwirkungen

$$V_d = G_d + E_{av,d} + P_{v,d} = 207.41 + 208.85 + 81.79 = 498.06 \text{ kN}$$

$$==> \mu = V_d / R_d = 498.06 / 1258.04 = 0.40$$

Horizontaler Wasserdruk herkömmlich bestimmt.

### Nachweis Tiefe Gleitfuge

Ansatzpunkt der Gleitfuge im Wandbereich = 9.42 m

$$A_{h,g,d} = A_{h,g,k} \cdot \gamma_G \text{ und } A_{h,d} = A_{h,g,k} \cdot \gamma_G + A_{h,q,k} \cdot \gamma_Q$$

$$\text{mögl } A_{h,g,d} = \text{mögl } A_{h,g,k} / \gamma_{Ep} \text{ und mögl } A_d = \text{mögl } A_k / \gamma_{Ep}$$

$$\mu_{ue} = \text{Ausnutzungsgrad} \leq 1.0$$

Nr	Tiefe	Länge	Höhe(Ankerw.)	Ah,d	mögl Ah,d	$\mu_{ue,gq}$	$A_{h,g,d}$	mögl $A_{h,g,d}$	$\mu_{ue,g}$
[-]	[m]	[m]	[m]	[kN/m]	[kN/m]	[-]	[kN/m]	[kN/m]	[-]
1	2.00	12.50	0.00	190.78	391.32	0.488	190.78	391.32	0.488

### Werte für ungünstigste Gleitfuge

Lastfall: g+q

x [m]	y [m]	$G_k$ [kN/m]	$E_{ah,k}$ [kN/m]	$E_{av,k}$ [kN/m]	$Q_x$ [kN/m]	$Q_y$ [kN/m]	$C_k$ [kN/m]	H [kN/m]	$\theta$ [°]	$\phi$ [°]
0.00	9.42	-	276.9	110.1	-	-	-	-	-	-
0.50	9.25	93.4	436.1	173.4	-44.5	-187.4	0.0	0.0	19.13	32.5
5.56	7.49	1016.4	443.4	176.2	-228.2	-960.1	0.0	0.0	19.13	32.5
6.41	7.20	186.0	438.9	174.4	-40.9	-172.0	0.0	0.0	19.13	32.5
9.00	6.30	595.5	413.1	164.2	-129.2	-543.7	0.0	0.0	19.13	32.5
12.07	5.24	723.5	365.6	145.3	-154.6	-650.5	0.0	0.0	19.13	32.5

### Werte für ungünstigste Gleitfuge

Lastfall: g

x [m]	y [m]	$G_k$ [kN/m]	$E_{ah,k}$ [kN/m]	$E_{av,k}$ [kN/m]	$Q_x$ [kN/m]	$Q_y$ [kN/m]	$C_k$ [kN/m]	H [kN/m]	$\theta$ [°]	$\phi$ [°]
0.00	9.42	-	276.9	110.1	-	-	-	-	-	-
0.50	9.25	93.4	436.1	173.4	-44.5	-187.4	0.0	0.0	19.13	32.5
5.56	7.49	1016.4	443.4	176.2	-228.2	-960.1	0.0	0.0	19.13	32.5
6.41	7.20	186.0	438.9	174.4	-40.9	-172.0	0.0	0.0	19.13	32.5
9.00	6.30	595.5	413.1	164.2	-129.2	-543.7	0.0	0.0	19.13	32.5
12.07	5.24	723.5	365.6	145.3	-154.6	-650.5	0.0	0.0	19.13	32.5

(H = Horizontalkraft infolge Erdbeben)

### Nachweis Aufbruchsicherheit nach EB 99

Verkehrslasten vereinfacht nach EAB EB 104 berücksichtigt  
Faktor Verkehrslasten fQ = 1.300 / 1.200 = 1.083

Teilsicherheit (Grundbruch)  $\gamma_{Gr} = 1.300$

Breite = 1.44 m

Gewicht  $G_k$  (einschließlich Verkehr) = 319.29 [kN/m]

(Verkehr erhöht mit Faktor = 1.083)

$E_{av,k}$  ( $\delta = 2/3 \cdot \varphi$ ) = 231.46 [kN/m]

Kohäsionskraft  $K_k = 0.00$  [kN/m]

Grundbruchlast  $P_{g,k} = 4990.66$  [kN/m]

Grundbruch mit:

Reibungswinkel  $\varphi_k = 30.21$  [°]

Kohäsion  $c_k = 0.00$  [kN/m<sup>2</sup>]

$N_d = 18.847 / N_b = 10.392 / N_c = 30.651$

$\sigma_u = 167.687$  [kN/m<sup>2</sup>]

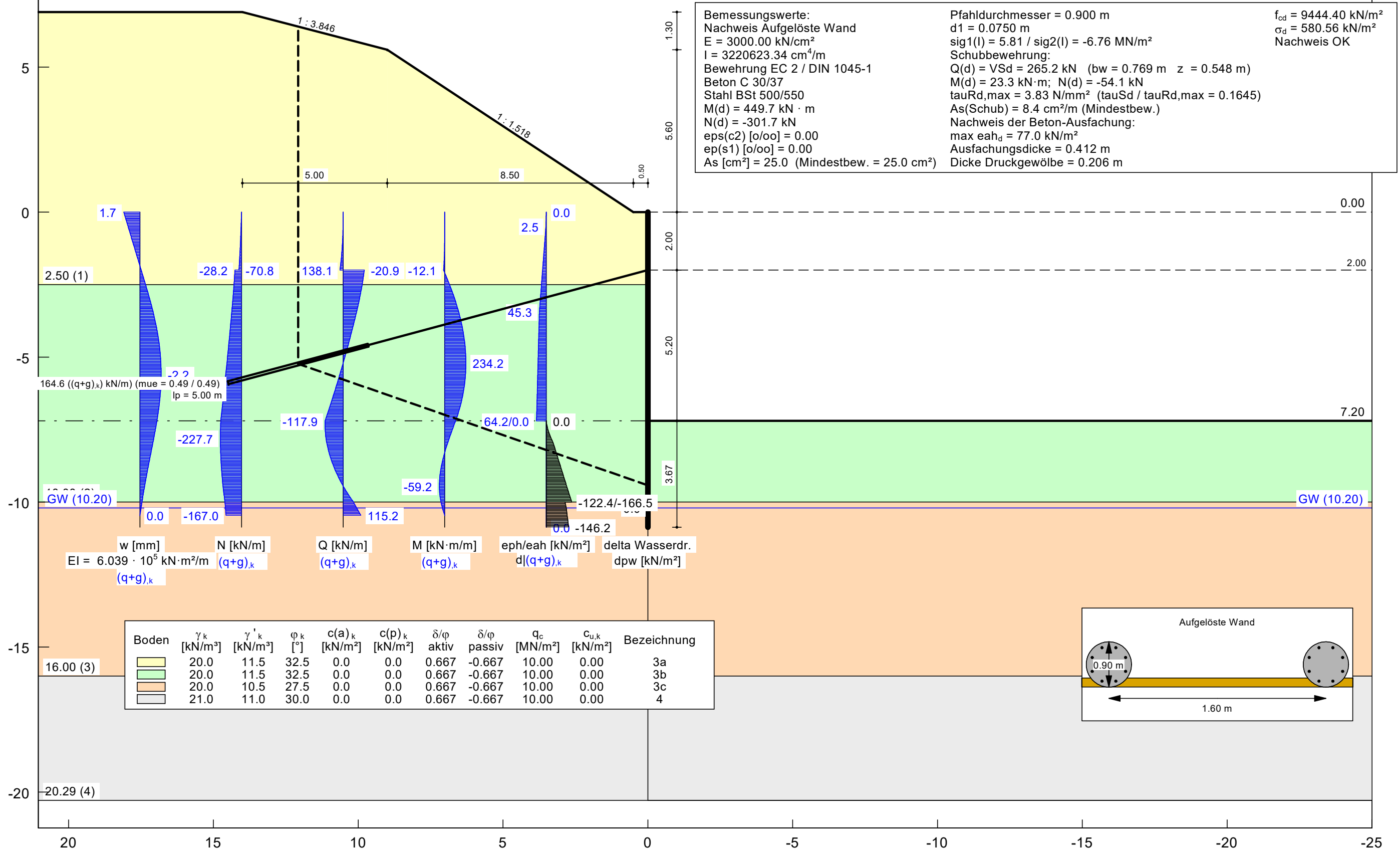
$\mu_{ue} = [G_k \cdot \gamma_G] / [(P_{g,k} + K_k + E_{av,k}) / \gamma_{Gr}] = 0.095$

$\mu_{ue} = [319.29 \cdot 1.20] / [(4990.66 + 0.00) / 1.300 + 231.46] = 0.095$

2018156\_Wangen  
 Norm: EC 7  
 Aufgelöste Wand  
 Aktiver Erddruck nach: DIN 4085  
 Ersatzerddruck-Beiwert mit  $\varphi = 40^\circ$   
 Pass. Erddruck nach: DIN 4085:2011  
 Räumliche Wirkung passiver Erddruck  
 nach: Weißenbach  
 Pfahldurchmesser = 0.900 m

Pfahlabstand = 1.60 m  
 Einspanngrad = 0.640  
 Erf. Profillänge = 10.87 m  
 Erf. Einbindetiefe = 3.67 m  
 BS: DIN 1054: BS-T  
 $\gamma_G = 1.20$   
 $\gamma_Q = 1.30$   
 $\gamma_{Ep} = 1.30$   
 Anpassungsfaktor  $E_p = 0.80$

mob. Ep erfüllt /  $\mu = 0.15$   
 $\mu(\text{Vert. Tragfähigkeit}) = 0.40$   
 Datei: überschnittene\_Bohrpfahlwand\_380\_Bauzustand mit Anker.vrb



Aufgelöste Bohrpfahlwand  
=====

Teilsicherheitskonzept (EC 7)

2018156\_Wangen

Datei: überschnittene\_Bohrpfahlwand\_380\_Endzustand ohne Anker.vrb

Indices:

d = Bemessungswert

k = charakteristisch

g = Ständig, einschließlich Wasserdruk

q = Veränderlich

g+q = Ständig + Veränderlich, einschließlich Wasserdruk

w = Wasserdruk

Alle Höhenangaben beziehen sich auf den Wandkopf.

Maximale Teilung bis Baugrubensohle: 0.050 m

Maximale Teilung unter Baugrubensohle: 0.050 m

Baugrubensohle = 5.00 m

Räumliche Wirkung passiver Erddruck

nach: Weißenbach

Bohlträgerbreite = 0.900 m

Bohlträgerabstand = 1.60 m

Grundwasserstand (Erdseite) = 10.70 m

Grundwasserstand (Luftseite) = 10.70 m

Wasserdruk auf "0.0" gesetzt, wenn zur Erdseite gerichtet.

Teilsicherheiten

BS: DIN 1054: BS-P

$\gamma_G = 1.35$

$\gamma_Q = 1.50$

$\gamma_{Ep} = 1.40$

Anpassungsfaktor Erdwiderstand = 0.80

Bermen auf der Aktivseite

Nr.	x1	x2	dh	a	x	y	Auflast	Verkehr
[ - ]	[ m ]	[ m ]	[ m ]	[ m ]	[ m ]	[ m ]	[ kN/m² ]	[ - ]
1	0.50	9.00	5.10	0.30	0.28	4.68	0.00	nein
2	9.00	14.00	1.30	2.34	10.75	5.97	0.00	nein

Der Einfluss von Aktivbermen auf den aktiven Erddruck wird gemäß den Beziehungen in "Spundwand-Handbuch Berechnung (1977) Abschnitt 4.9.2.2" berechnet.

Art des Fußlagers:

Profillänge automatisch

Nachweis Fußauflager erbracht mit folgenden Kräften:

$Eph,d = 632.82 \text{ kN/m}$  ( $Epv,d = -251.54 \text{ kN/m}$ )

Ausnutzungsgrad (Erdwiderstand) =  $Bh,d / Eph,d = 1.000$

$Bh(g+q),d = 632.82 \text{ kN/m}$

$Bh,g,d = 632.82 \text{ kN/m}$

$Bh,q,d = 0.00 \text{ kN/m}$

$Bh,w,d = 0.00 \text{ kN/m}$

Ersatzkräfte  $C_h$  (Blum)

$C_{h,k} = 351.11 \text{ kN/m}$

$C_{h,g,k} = 351.11 \text{ kN/m}$

$C_{h,q,k} = 0.00 \text{ kN/m}$

$C_{h,w,k} = 0.00 \text{ kN/m}$

Bodenkennwerte

Schicht	UK	$\gamma_k$	$\gamma'_k$	$\phi_k$	$c(akt),k$	$c(pas),k$	$d(a)/\phi$	$d(p)/\phi$	$qc$	$cu,k$
[ - ]	[ m ]	[ kN/m³ ]	[ kN/m³ ]	[ ° ]	[ kN/m² ]	[ kN/m² ]	[ - ]	[ - ]	[ MN/m² ]	[ kN/m² ]
1	2.50	20.00	11.50	32.50	0.00	0.00	0.667	-	10.00	0.00
2	10.00	20.00	11.50	32.50	0.00	0.00	0.667	-0.667	10.00	0.00

3	16.00	20.00	10.50	27.50	0.00	0.00	0.667	-0.667	10.00	0.00
4	20.29	21.00	11.00	30.00	0.00	0.00	0.667	-0.667	10.00	0.00

#### Aktive Erddruckbeiwerte

Ersatzerddruck-Beiwert mit  $\phi = 40^\circ$

Ersatzerddruck-Beiwert kah wird angewendet, wenn Kohäsion <> 0.0.

Ersatzerddruck-Beiwert kah wird nur auf ständige Lasten angewendet.

bestimmt nach: DIN 4085

(Erddruckbeiwerte für horizontales Gelände)

Schicht	UK	$k_{agh}$	$k_{ach}$	$\phi_k$	$\delta$	$\theta$	$kagh(40^\circ)$
[ -]	[m]	[ -]	[ -]	[ °]	[ °]	[ °]	[ -]
1	2.50	0.251	0.866	32.500	21.68	57.46	0.179
2	10.00	0.251	0.866	32.500	21.68	57.46	0.179
3	16.00	0.311	0.980	27.500	18.34	54.50	0.179
4	20.29	0.279	0.921	30.000	20.01	55.98	0.179

#### Aktive Erddruckordinaten ([g+q],k)

von	bis	oben	unten	Wasserdruck	Wasserdruck
[m]	[m]	[kN/m²]	[kN/m²]	oben[kN/m²]	unten[kN/m²]
0.000	0.575	0.000	2.883	0.00	0.00
0.575	1.031	2.883	7.660	0.00	0.00
1.031	2.044	7.660	18.276	0.00	0.00
2.044	2.500	18.276	23.053	0.00	0.00
2.500	3.050	23.054	28.817	0.00	0.00
3.050	4.050	28.817	39.296	0.00	0.00
4.050	5.000	39.296	49.250	0.00	0.00
5.000	5.050	0.000	0.000	0.00	0.00
5.050	5.251	0.000	0.000	0.00	0.00
5.251	5.650	0.000	0.000	0.00	0.00
5.650	6.049	0.000	0.000	0.00	0.00
6.049	7.047	0.000	0.000	0.00	0.00
7.047	7.396	0.000	0.000	0.00	0.00
7.396	7.994	0.000	0.000	0.00	0.00
7.994	8.044	0.000	0.000	0.00	0.00
8.044	9.047	0.000	0.000	0.00	0.00
9.047	9.799	0.000	0.000	0.00	0.00
9.799	10.000	0.000	0.000	0.00	0.00
10.000	10.700	0.000	0.000	0.00	0.00
10.700	13.969	0.000	0.000	0.00	0.00
13.969	16.000	0.000	0.000	0.00	0.00
16.000	20.290	0.000	0.000	0.00	0.00

#### Passive Erddruckbeiwerte

bestimmt nach: DIN 4085:2011

Schicht	UK	$k_{ph}$	$k_{pc}$	$\phi_k$	$\delta$	$\theta$
[ -]	[m]	[ -]	[ -]	[ °]	[ °]	[ °]
2	10.00	6.006	6.054	32.500	-21.68	16.35
3	16.00	4.204	4.818	27.500	-18.34	19.83
4	20.29	5.005	5.388	30.000	-20.01	18.10

#### Passive Erddruckordinaten (Bemessungswerte)

Teilsicherheit Erdwiderstand = 1.40

Anpassungsfaktor Erdwiderstand = 0.80

von	bis	oben	unten
[m]	[m]	[kN/m²]	[kN/m²]
4.05	5.00	0.00	0.00
5.00	5.05	0.00	-0.71
5.05	5.25	-0.71	-7.99
5.25	5.65	-7.99	-33.24
5.65	6.05	-33.24	-57.95
6.05	7.05	-57.95	-113.02
7.05	7.40	-113.02	-132.30
7.40	7.99	-132.30	-165.35
7.99	8.04	-165.35	-168.12
8.04	9.05	-168.12	-223.49
9.05	9.80	-223.49	-265.03
9.80	10.00	-265.03	-276.10
10.00	10.70	-203.02	-231.44
10.70	13.97	-231.44	-301.12
13.97	16.00	-301.12	-344.42
16.00	20.29	-400.17	-511.48

Schnittgrößen (Bemessungswerte)

Tiefe [m]	N [kN/m]	Q [kN/m]	M [kN·m/m]
0.00	0.0	0.0	0.0
0.58	-8.2	-1.1	-0.2
1.03	-15.6	-4.4	-1.4
2.04	-36.2	-22.1	-13.5
2.50	-47.4	-34.8	-26.4
3.05	-62.4	-54.1	-50.6
4.05	-94.1	-100.1	-126.5
5.00	-129.4	-156.8	-247.5
5.05	-130.1	-156.8	-255.4
5.25	-132.5	-156.0	-286.9
5.65	-134.7	-148.2	-347.9
6.05	-132.7	-129.7	-403.7
7.05	-112.3	-44.7	-495.2
7.40	-100.0	-2.0	-503.5
7.99	-72.8	86.8	-479.2
8.04	-70.1	95.1	-474.6
9.05	-5.8	290.9	-285.7
9.80	56.9	474.0	0.0

Schnittgrößen (g,d)

Tiefe [m]	N [kN/m]	Q [kN/m]	M [kN·m/m]
0.00	0.0	0.0	0.0
0.58	-8.2	-1.1	-0.2
1.03	-15.6	-4.4	-1.4
2.04	-36.2	-22.1	-13.5
2.50	-47.4	-34.8	-26.4
3.05	-62.4	-54.1	-50.6
4.05	-94.1	-100.1	-126.5
5.00	-129.4	-156.8	-247.5
5.05	-130.1	-156.8	-255.4
5.25	-132.5	-156.0	-286.9
5.65	-134.7	-148.2	-347.9
6.05	-132.7	-129.7	-403.7
7.05	-112.3	-44.7	-495.2
7.40	-100.0	-2.0	-503.5
7.99	-72.8	86.8	-479.2
8.04	-70.1	95.1	-474.6
9.05	-5.8	290.9	-285.7
9.80	56.9	474.0	0.0

Schnittgrößen ([g+q],k)

Tiefe [m]	N [kN/m]	Q [kN/m]	M [kN·m/m]
0.00	0.0	0.0	0.0
0.58	-6.0	-0.8	-0.2
1.03	-11.5	-3.2	-1.0
2.04	-26.8	-16.4	-10.0
2.50	-35.1	-25.8	-19.6
3.05	-46.2	-40.1	-37.5
4.05	-69.7	-74.1	-93.7
5.00	-95.9	-116.2	-183.4
5.05	-96.4	-116.2	-189.2
5.25	-98.1	-115.6	-212.5
5.65	-99.8	-109.8	-257.7
6.05	-98.3	-96.1	-299.0
7.05	-83.2	-33.1	-366.8
7.40	-74.1	-1.5	-373.0
7.99	-53.9	64.3	-354.9
8.04	-52.0	70.5	-351.6
9.05	-4.3	215.4	-211.6
9.80	42.2	351.1	0.0

Schnittgrößen (g,k)

Tiefe [m]	N [kN/m]	Q [kN/m]	M [kN·m/m]
0.00	0.0	0.0	0.0
0.58	-6.0	-0.8	-0.2
1.03	-11.5	-3.2	-1.0

2.04	-26.8	-16.4	-10.0
2.50	-35.1	-25.8	-19.6
3.05	-46.2	-40.1	-37.5
4.05	-69.7	-74.1	-93.7
5.00	-95.9	-116.2	-183.4
5.05	-96.4	-116.2	-189.2
5.25	-98.1	-115.6	-212.5
5.65	-99.8	-109.8	-257.7
6.05	-98.3	-96.1	-299.0
7.05	-83.2	-33.1	-366.8
7.40	-74.1	-1.5	-373.0
7.99	-53.9	64.3	-354.9
8.04	-52.0	70.5	-351.6
9.05	-4.3	215.4	-211.6
9.80	42.2	351.1	0.0

#### Schnittgrößen (q,k)

Tiefe [m]	N [kN/m]	Q [kN/m]	M [kN·m/m]
0.00	0.0	0.0	0.0
0.58	0.0	0.0	0.0
1.03	0.0	0.0	0.0
2.04	0.0	0.0	0.0
2.50	0.0	0.0	0.0
3.05	0.0	0.0	0.0
4.05	0.0	0.0	0.0
5.00	0.0	0.0	0.0
5.05	0.0	0.0	0.0
5.25	0.0	0.0	0.0
5.65	0.0	0.0	0.0
6.05	0.0	0.0	0.0
7.05	0.0	0.0	0.0
7.40	0.0	0.0	0.0
7.99	0.0	0.0	0.0
8.04	0.0	0.0	0.0
9.05	0.0	0.0	0.0
9.80	0.0	0.0	0.0

#### Schnittgrößen (w,k)

Tiefe [m]	N [kN/m]	Q [kN/m]	M [kN·m/m]
0.00	0.0	0.0	0.0
0.58	0.0	0.0	0.0
1.03	0.0	0.0	0.0
2.04	0.0	0.0	0.0
2.50	0.0	0.0	0.0
3.05	0.0	0.0	0.0
4.05	0.0	0.0	0.0
5.00	0.0	0.0	0.0
5.05	0.0	0.0	0.0
5.25	0.0	0.0	0.0
5.65	0.0	0.0	0.0
6.05	0.0	0.0	0.0
7.05	0.0	0.0	0.0
7.40	0.0	0.0	0.0
7.99	0.0	0.0	0.0
8.04	0.0	0.0	0.0
9.05	0.0	0.0	0.0
9.80	0.0	0.0	0.0

#### Weggrößen ([g+q],k)

berechnet mit EI = 6.039E+5 kN·m<sup>2</sup>/m

Tiefe [m]	w [mm]
0.00	-17.5
0.58	-16.0
1.03	-14.9
2.04	-12.3
2.50	-11.1
3.05	-9.7
4.05	-7.2
5.00	-5.0

5.05	-4.9
5.25	-4.4
5.65	-3.6
6.05	-2.9
7.05	-1.3
7.40	-0.9
7.99	-0.4
8.04	-0.4
9.05	0.0
9.80	0.0

Verdrehung (Theoretischer Fußpunkt) [°]

phi,[g+q].k: 0.00000000  
Theoretischer Fußpunkt = 9.799 m

Nachweis Aufgelöste Bohrpfahlwand

E = 3000.00 kN/cm<sup>2</sup>

I = 3220623.34 cm<sup>4</sup>/m

Bewehrung EC 2 / DIN 1045-1

Beton C 30/37

Stahl BSt 500/550

M(d) = 805.7 kN · m

N(d) = -160.1 kN

eps(c2) [o/oo] = -3.50

ep(s1) [o/oo] = 11.44

As [cm<sup>2</sup>] = 50.6 (Mindestbew. = 25.0 cm<sup>2</sup>)

Pfahldurchmesser = 0.900 m

d1 = 0.0750 m

sig1(l) = 11.01 / sig2(l) = -11.51 MN/m<sup>2</sup>

Schubbewehrung:

Q(d) = VSd = 379.2 kN (bw = 0.769 m z = 0.548 m)

M(d) = 37.5 kN·m; N(d) = 83.8 kN

tauRd,max = 3.83 N/mm<sup>2</sup> (tauSd / tauRd,max = 0.2352)

As(Schub) = 8.4 cm<sup>2</sup>/m (Mindestbew.)

Nachweis der Beton-Ausfachung:

max eah,d = 66.5 kN/m<sup>2</sup>

Ausfachungsdicke = 0.412 m

Dicke Druckgewölbe = 0.206 m

f,cd = 9444.4 kN/m<sup>2</sup>

sigma(d) = 501.37 kN/m<sup>2</sup>

Nachweis OK

max M<sub>d</sub> = 503.5 kN·m/m (Tiefe = 7.40 m)

Zugehörige Werte: N<sub>d</sub> = -100.0 kN/m; Q<sub>d</sub> = -2.0 kN/m; w<sub>k</sub> = 0.9 mm

max Q<sub>d</sub> = 474.0 kN·m/m (Tiefe = 9.80 m)

Zugehörige Werte: N<sub>d</sub> = 56.9 kN/m; M<sub>d</sub> = 0.0 kN·m/m; w<sub>k</sub> = 0.0 mm

max N<sub>d</sub> = 134.7 kN/m (Tiefe = 5.65 m)

Zugehörige Werte: Q<sub>d</sub> = -148.2 kN/m; M<sub>d</sub> = -347.9 kN·m/m; w<sub>k</sub> = 4.9 mm

max w<sub>k</sub> = 17.5 mm (Tiefe = 0.00 m)

Zugehörige Werte: N<sub>d</sub> = 0.0 kN/m; Q<sub>d</sub> = 0.0 kN/m; M<sub>d</sub> = 0.0 kN·m/m

Vergrößerung der Einbindetiefe um 20.00 %

Einbindetiefe t<sub>g</sub> = 5.76 m

Profillänge = 10.76 m

Nachweis Summe H

Eph,d = 1200.39 kN/m

(Eph,d mit Wandreibungswinkel = -φ ermittelt)

(Eph,d berechnet mit Anpassungsfaktor von: 1.000)

Eah,d = 408.11 kN/m

Bh,d' = Bh,d - 0.5 · C<sub>h,d</sub>

Bh,d = 632.82 kN/m ; C<sub>h,d</sub> = 474.00 kN/m

Bh,d' = 395.82 kN/m

(Bh,d über rechnerisches Auflager)

Eah,d + Bh,d' <= Eph,d (Nachweis OK)

μ = (Eah,d + Bh,d') / Eph,d

μ = (408.11 + 395.82) / 1200.39

$$\mu = 803.93 / 1200.39 = 0.67$$

#### Nachweis Summe V

Das Vorzeichen ist positiv, wenn Kraftgröße nach unten gerichtet ist.

Bei Trägerbohlwänden berechnet sich  $E_{pv}$  ( $B_v$ ) aus dem Reibungs- und dem Kohäsionsanteil unterschiedlich. Der Reibungsanteil wird dabei nur vor dem Bohlträger angesetzt. Für  $C_h$  und  $C_v$  erfolgt eine analoge Annahme.

#### Nachweis des mobilisierten Erdwiderstands

Bedingung:  $G_k + P_{v,k} + E_{av,k} + 0.5 \cdot C_{h,k} \cdot \tan(\delta_c) \geq (B_{h,k} - 0.5 \cdot C_{h,k}) \cdot \tan(\delta_p)$

$$G_k = 171.12 \text{ kN}$$

$$P_{v,k} = 0.00 \text{ kN}$$

$$E_{av,k} = 72.33 \text{ kN} (E_{ah,k} = 181.95 \text{ kN})$$

$$C_{h,k} = 316.00 \text{ kN}$$

$$B_{v,k} = -167.17 \text{ kN}$$

$$\delta_p [^\circ] = -21.7$$

$$\delta_c [^\circ] = 10.8$$

$$\text{Summe } V_k = 169.29 \text{ kN (Druck)}$$

#### Nachweis der vertikalen Tragfähigkeit

(Erfahrungswerte nach EA Pfähle)

Verfahren 1: EAU Bild E 4-3 (links)

Aufgelöste Wand D = 90.00 cm

$$R_{Bv,d} = (B_{h,k} - 1/2 \cdot C_{h,k}) \cdot \tan(\delta_p) / \gamma_{Ep}$$

$$R_{Bv,d} = (420.55 - 1/2 \cdot 316.00) \cdot \tan(21.7^\circ) / 1.40 = 74.55 \text{ kN}$$

$$R_{Cv,d} = 1/2 \cdot C_{h,k} \cdot \tan(\delta_c) / \gamma_{Ep}$$

$$R_{Cv,d} = 1/2 \cdot 316.00 \cdot \tan(21.7^\circ) / 1.40 = 44.86 \text{ kN}$$

Verhältniswert (min, max) = 0.00

$$\text{Spitzendruck } q_{c,m} = 10.00 \text{ MN/m}^2$$

(gemittelt von 9.86 bis 13.46 m) ==>  $q_{b,k} = 2.07 \text{ MN/m}^2$

$$R_{b,d} = A \cdot q_{b,k} / \gamma_{qb,k} = 0.6362 \cdot 2.07 \cdot 1000 / 1.40 = 939.11 \text{ kN}$$

#### Mantelreibung

von	bis	$q_{s,k} [\text{kN/m}^2]$	Bezeichnung
5.00	10.00	71.67	3b
10.00	10.76	71.67	3c

Mantelfläche bis 10.76 m = 1.414 m<sup>2</sup>/m ==>  $R_{s1,d}$

$$R_{s1,d} = \eta(s) \cdot R_{s1,k} / \gamma_{qs,k} = 1.000 \cdot 583.51 / 1.40 = 416.79 \text{ kN}$$

$$R_d = R_{Bv,d} + R_{Cv,d} + R_{b,d} + R_{s1,d} = 1475.31 \text{ kN}$$

#### Einwirkungen

$$V_d = G_d + E_{av,d} + P_{v,d} = 231.01 + 97.64 + 0.00 = 328.65 \text{ kN}$$

$$==> \mu = V_d / R_d = 328.65 / 1475.31 = 0.22$$

Horizontaler Wasserdruk herkömmlich bestimmt.

#### Nachweis Aufbruchsicherheit nach EB 99

Verkehrslasten vereinfacht nach EAB EB 104 berücksichtigt

Faktor Verkehrslasten fQ = 1.500 / 1.350 = 1.111

Teilsicherheit (Grundbruch)  $\gamma_{Gr} = 1.400$

Breite = 1.28 m

Gewicht  $G_k$  (einschließlich Verkehr) = 279.13 [kN/m]

(Verkehr erhöht mit Faktor = 1.111)

$$E_{av,k} (\delta = 2/3 \cdot \varphi) = 216.44 \text{ [kN/m]}$$

$$\text{Kohäsionskraft } K_k = 0.00 \text{ [kN/m]}$$

$$\text{Grundbruchlast } P_{g,k} = 4332.87 \text{ [kN/m]}$$

Grundbruch mit:

Reibungswinkel  $\varphi_k = 30.21 [^\circ]$

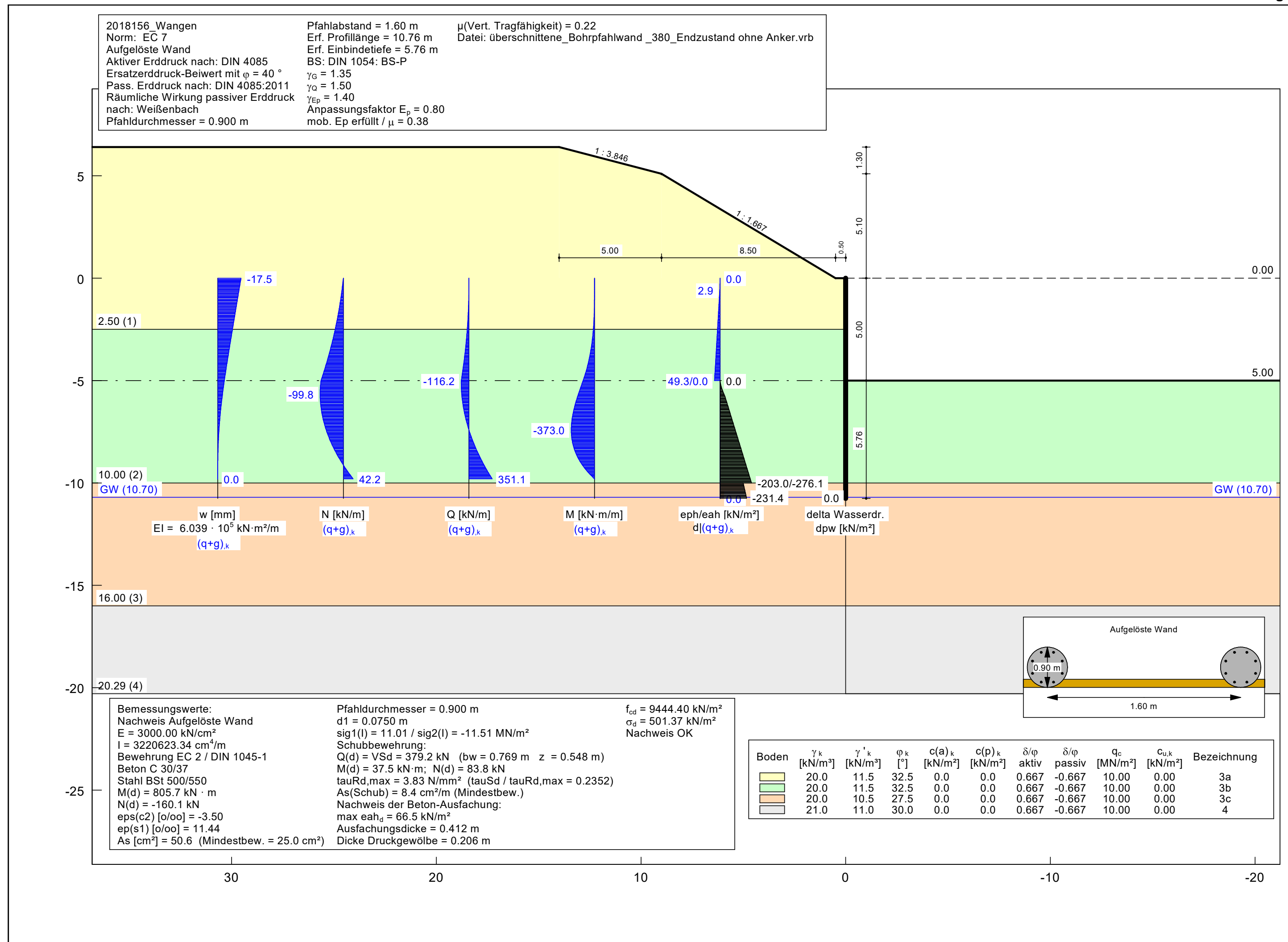
$$\text{Kohäsion } c_k = 0.00 \text{ [kN/m}^2]$$

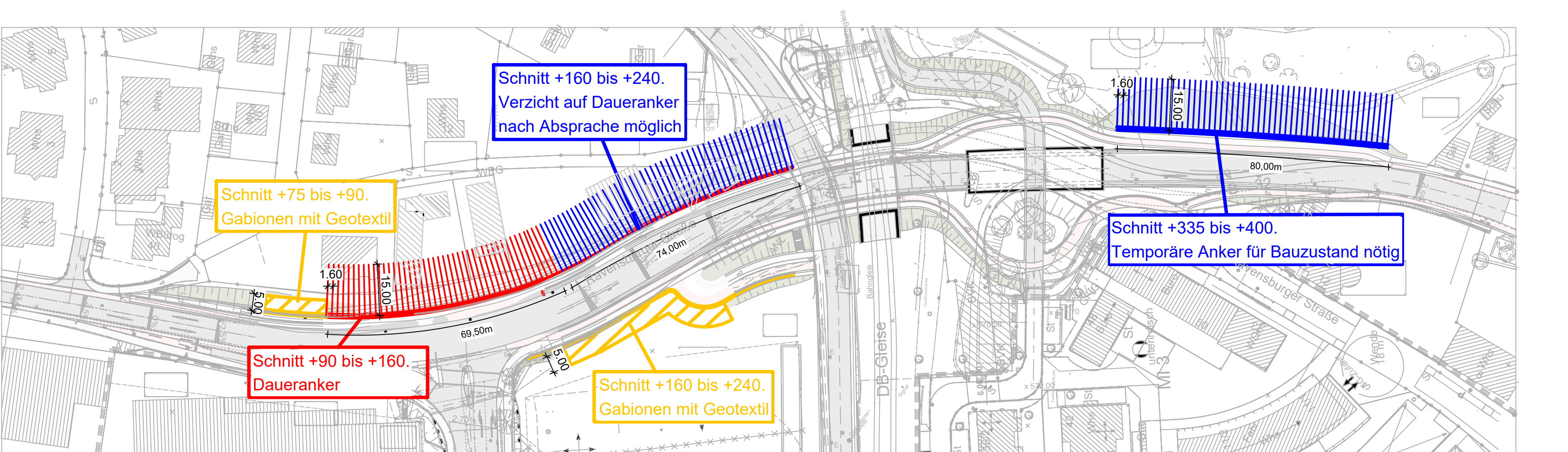
$$N_d = 18.847 / N_b = 10.392 / N_c = 30.651$$

$$\sigma_u = 165.216 \text{ [kN/m}^2]$$

$$\mu_{ue} = [G_k \cdot \gamma_G] / [(P_{g,k} + K_k + E_{av,k}) / \gamma_{Gr}] = 0.116$$

$$\mu_{ue} = [279.13 \cdot 1.35] / [(4332.87 + 0.00) / 1.400 + 216.44] = 0.116$$





DR. SCHÜTZ INGENIEURE		Datum	Zeichen
bearbeitet:	17.06.2021	Vochazer	
gezeichnet:	17.06.2021	Wandrey	
gesehen:	17.06.2021	Pohl	

	<b>Regierungspräsidium Tübingen</b>		
Nr.	Art der Änderung	Datum	Name

Straßenbauverwaltung Baden-Württemberg		Anlage 9
Straße:	B 32	
Nächster Ort:	Wangen	
	Datum	Zeichen
bearbeitet	17.06.2021	Vochazer
geprüft	17.06.2021	Pohl
<b>B 32</b> Beseitigung des Bahnüberganges in Wangen		<u>Übersicht</u>
Flächeninanspruchnahme Anker & Geotextilien		
Maßstab: 1:1000		